

北大别北东地区榴辉岩温度条件分析^{*}

石永红¹ 康涛¹ 李秋立² 林伟^{2**}

SHI YongHong¹, KANG Tao¹, LI QiuLi² and LIN Wei^{2**}

1. 合肥工业大学资环学院,合肥 230009

2. 中国科学院地质与地球物理研究所岩石圈演化国家重点实验室,北京 100029

1. School of Resources and Environment Engineering, Hefei University of Technology, Hefei 230009, China

2. State Key Laboratory of Lithospheric Evolution, Institute of Geology and Geophysics, Chinese Academy of Sciences, Beijing 100029, China

2011-04-26 收稿, 2011-06-04 改回.

Shi YH, Kang T, Li QL and Lin W. 2011. The analysis of temperature conditions for eclogites in the northeastern part of North Dabie Terrane. *Acta Petrologica Sinica*, 27(10):3021–3040

Abstract The precise temperature estimation for eclogites across the North Dabie Terrane (NDT) is the most critical to determine the characteristics of the North Dabie metamorphic units correctly. The many uncertainties on the peak temperature estimates and the classification of eclogites across the NDT had arose, as the different thermometers and methods of Fe^{2+} correction of omphacite had been employed to evaluate the P - T values, and the different scenarios for the classification of eclogites had existed. To investigate this issue, 5 thermometers and 4 methods for ferric correction of omphacites have been used to calculate the temperature conditions for eclogites in the northeastern part of the NDT in this study. When the Krogh (2000) Grt-Cpx Fe-Mg thermometer has been employed and the ferric in omphacite has been assumed as $\text{Fe}^{3+}/\text{Fe}^{2+} = 1:1$, the temperature estimated ought to approach to the real values. The results indicate: $P_{\text{calibration}} = 3.5 \text{ GPa}$, the temperature is in the range of $600 \sim 740^\circ\text{C}$; $P_{\text{calibration}} = 5.0 \text{ GPa}$, the temperature is in the range of $670 \sim 810^\circ\text{C}$. Refer to the classification of eclogites from Carswell (1990), the eclogites across the NDT can be considered as the medium temperature eclogites. However, the eclogites from the NDT display different characters from those in the Central Dabie and South Dabie terranes, based on the investigations of geological characteristics, petrographic studies, the analysis of mineral compositions and the results of previous studies for eclogites from the NDT, we conjectured that the eclogites across the NDT underwent higher temperature metamorphism.

Key words Eclogites; Peak temperature; Omphacite; Fe^{2+} correction; North Dabie Terrane

摘要 北大别榴辉岩温度条件的精确评价直接涉及到北大别变质单元性质的判定。由于榴辉岩温度分类方案的不同,以及温度估算时温度计选择和绿辉石 Fe^{2+} 校正方法不同的影响,导致北大别榴辉岩温度评价和分类归属具有较大的不确定性。为此,本研究应用 5 个不同的温度计和 4 种不同的绿辉石 Fe^{2+} 校正方法,评价了北大别北东地区榴辉岩的温度条件。结果显示,当应用 Krogh (2000) 的 Grt-Cpx Fe-Mg 温度计和设定绿辉石的铁为 $\text{Fe}^{3+}/\text{Fe}^{2+} = 1:1$ 时,温度计算较为合理: $P_{\text{标定}} = 3.5 \text{ GPa}$,温度范围为 $600 \sim 740^\circ\text{C}$ 或 $P_{\text{标定}} = 5.0 \text{ GPa}$,温度范围为 $670 \sim 810^\circ\text{C}$ 。参照 Carswell (1990) 的温度分类,北大别榴辉岩应属于中温类型。但结合此次榴辉岩的地质特征、岩相学和矿物成分分析,以及前人的研究资料,北大别榴辉岩与中大别和南大别榴辉岩有明显的差异,其可能是在相对高温的条件下形成的。

关键词 榴辉岩; 峰期温度; 绿辉石; Fe^{2+} 校正; 北大别地块

中图法分类号 P588. 348; P575. 1

* 本文受国家“973”项目(2009CB825008)和国家自然科学基金项目(40972051)联合资助。

第一作者简介:石永红,男,1968 年生,教授,变质岩石学专业, E-mail: yonghongshi3110@shou. com

** 通讯作者:林伟,男,1968 年生,研究员,构造地质学专业, E-mail: linwei@mail. igcas. ac. cn

1 引言

精确标定大别山结构框架是充分阐明大别碰撞造山带的俯冲、折返过程及其形成机制的基础。大别山造山带的单元划分经历了较长的发展过程。最初,Okay *et al.* (1989)依据对榴辉岩的岩石学研究将该造山带分为南、北大别2个变质单元。在此基础上,Carswell *et al.* (1997)进一步将其分为北大别、中大别和南大别。Cong (1995)则根据岩石组合特征、变质级别和榴辉岩的出露状况,将其划分为北淮阳地块、北大别地块、南大别地块和宿松地块。Faure *et al.* (1999, 2003)则从构造角度将其分为北大别浅变质单元、中大别混合岩单元、南大别高压-超高压单元和南部前陆褶冲单元。尽管这些结构单元称谓不一致,但对于该造山带的构成的基本样式的认识是一致,并认为北大别地块不含榴辉岩,属于角闪岩相变质单元。然而,随着Wei *et al.* (1998)、周存亭等(2000)、刘贻灿等(2001)、Liu *et al.* (2005, 2007)、Malaspina *et al.* (2006)等人相继在北大别地块确定了榴辉岩的存在,使人们不得不重新审视北大别地块的构造属性。最终,Zheng *et al.* (2003, 2005)综合变质单元的温度、年代学、同位素地球化学、岩石学和构造地质学研究,自北向南,将大别造山带分为北淮阳浅变质带、北大别高温超高压变质带、中大别中温超高压变质带、南大别低温超高压变质带和宿松低温高压蓝片岩带5个单元(图1)。

由于大别碰撞造山带出露有世界上最多、最大、最完整的榴辉岩,故其一直是国内外地质学者透视大陆深俯冲高压-超高压变质作用的热点地区。而目前的研究表明,榴辉岩主要集中在北、中和南大别地区。因此,这3个单元又是研究热点的重中之重。然而,对于北大别高温超高压变质带是否普遍经历超高压变质作用仍存在不同的认识。Zhang *et al.* (2009)、Liou *et al.* (2009)和Liu *et al.* (2011)认为北大别变质带是由不同类型的岩石构成,其并未普遍经历超高压变质作用,超高压特征变质矿物——金刚石的判别应当进一步的进行细致判别。而Xu *et al.* (2005)和Liu *et al.* (2007)鉴于榴辉岩中金刚石的发现,以及温度评价的结果认为北大别变质带为高温超高压单元。此外,我们注意到这3个含榴辉岩单元的区别主要是依据温度的差异进行标定的,而温度的计算又完全取决于对榴辉岩峰期变质温度的评价(刘贻灿等, 2001),但精确的温度判定又受到诸多的因素制约,例如,分析误差(Wain, 1998; Cuthbert *et al.*, 2000; Nowlan *et al.*, 2000)、 Fe^{2+} 的准确测定(Sobolev *et al.*, 1999; Schmid *et al.*, 2000, 2003; Proyer *et al.*, 2004; Li *et al.*, 2005)和 Fe^{2+} 的校正(Cawthron and Collerson, 1974; Droop, 1987; Schmid *et al.*, 2000)、不同温度计的选择(Eells and Green, 1979; Powell, 1985; Krogh, 1988, 2000; Ai, 1994; 陈意等, 2005),以及相不平衡因素的影响(魏春景等, 2009)等。这些因素导致了温度计算较大的不确定性(石永红等, 2008),

进而增加了温度判别的困难,影响到这3个单元的划分基础。为此,本次研究期望通过对北大别变质单元榴辉岩的地质特征和变质岩石学的研究,特别是峰期温度条件的研究进一步阐明该单元的变质属性。

2 榴辉岩地质特征、岩相学和矿物成分分析

2.1 北大别北东地区榴辉岩样品

本次研究区域位于北大别变质带北东区域,出露面积约400km²,区内出露的岩石较为繁杂,主体是由条带状片麻岩、片麻状花岗岩、中生代花岗岩、基性-超基性岩和花岗片麻岩,以及少量的斜长角闪岩、大理岩和榴辉岩构成(图1)。本次分析的榴辉岩主要位于华庄-上石视-百丈岩-大麻岩-麻岩岭-上官庄-胡家河一线(图1),采集分析的榴辉岩样品共计7块。其中以百丈岩、麻岩岭、上官庄和胡家河地区的榴辉岩出露最好。

(1)百丈岩地区榴辉岩(样品TS82-6A, B)出露宽度约20~30m,岩石新鲜,呈层状产出,石榴石和绿辉石常富集为成分条带,露头规模可见到石榴石的自形-半自形的变斑晶,紧邻榴辉岩的围岩为2~5m宽的石榴黑云斜长片麻岩,在外围为细粒花岗片麻岩(图2a, b, c)。(2)华庄地区榴辉岩(样品TS100-1)出露较差,未见到明显的露头,且退变强烈,多以散落的1~2m团块形式出现(图2d),围岩为细粒花岗片麻岩。(3)上官庄地区榴辉岩(样品SGZ01a)出露规模较小,围岩主要斜长角闪岩、不纯大理岩和细粒花岗片麻岩,且风化较强烈(图2e),偶见新鲜呈团块产出的榴辉岩,露头规模可见到自形-半自形的石榴石斑晶(图2f)。(4)胡家河地区榴辉岩(样品HJ01)多以透镜体形式产出(图2g),出露宽度约10~15m,其围岩为斜长角闪岩和细粒花岗片麻岩,石榴石多为自形-半自形(图2h)。(5)麻岩岭地区榴辉岩(样品MYL01-A, B)以团块状或透镜体形式产出(图2i, j),出露规模约2~10m,其紧邻围岩为斜长角闪岩和花岗片麻岩,退变较为强烈。

2.2 榴辉岩岩相学特征

由于风化和退变的程度差异,研究区内榴辉岩的矿物组合发育程度不一,其中以百丈岩和上官庄榴辉岩的矿物组合保存最为完整。因本文主要是评价榴辉岩峰期温度,故这里对于后期变质矿物不予详述。文中矿物缩写代号据Kretz (1983)。

百丈岩地区榴辉岩峰期矿物组合为Grt + Omp + Rt,石榴石多为半自形-他形,粒径约0.5~2mm,内部含少量的金红石和绿辉石包体,其边缘形成Amp + Pl反应边(图3a, b);绿辉石多为他形,粒径约0.2~1mm,在其内部可见石英、长石定向排列的矿物出溶体(图2c),暗示峰期绿辉石形成于较高压力(Ye *et al.*, 2000)。在其边缘常常形成由Di + Pl + Amp构成的后成合晶。基质中的金红石颗粒较小,粒径约

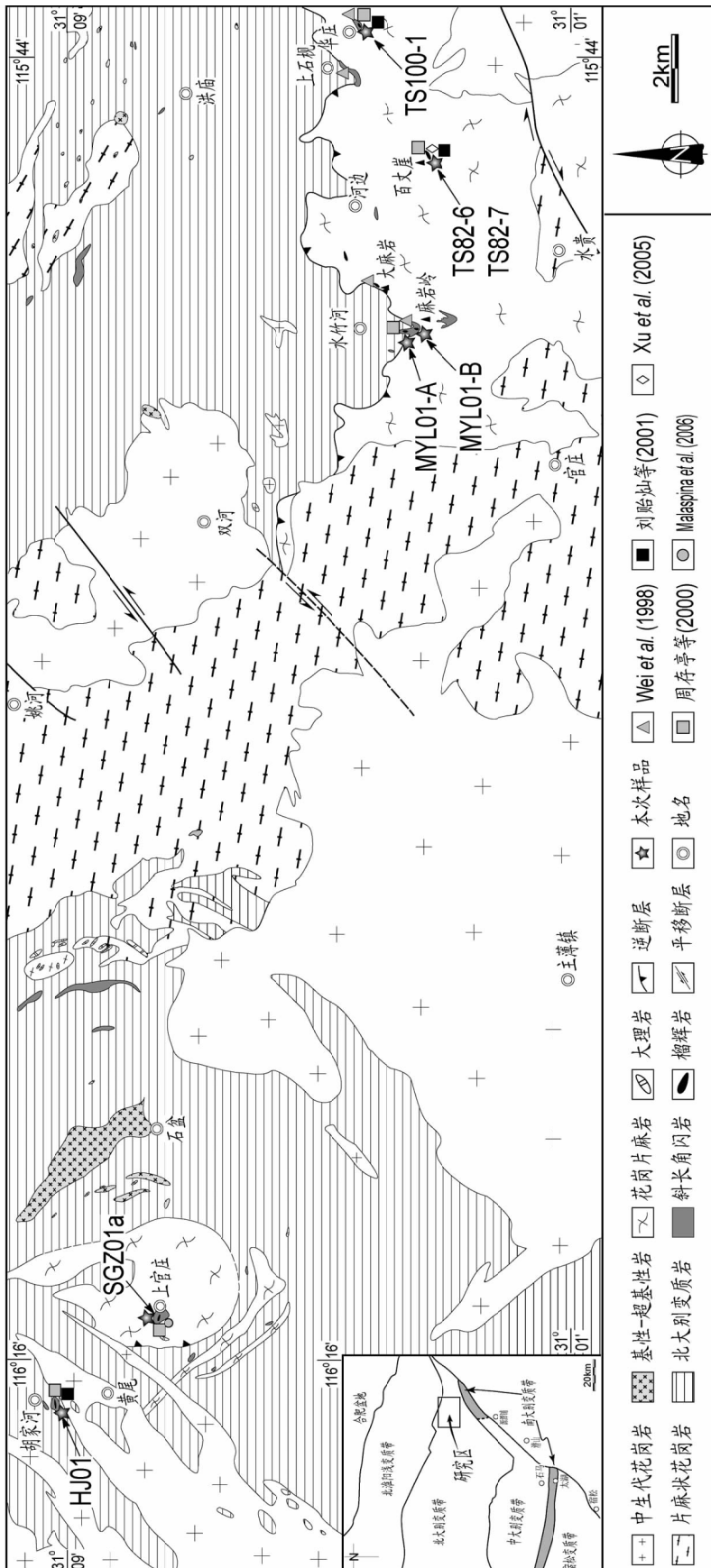


图1 北大别块体东北地区地质概要及榴辉岩样品位置图 (据北京大学地质系, 1996^①; 安徽省地质矿产局, 2000^②; Wei et al., 1998 修改)

Fig.1 The simplified geological map across the northeastern area in the North Dabie Terrane and the distribution of eclogites samples (modified after Wei et al., 1998)

① 北京大学地地质系. 1996. 1/5 万官庄幅地质图

② 安徽省地质矿产局. 2000. 1/5 万主薄原幅地质图

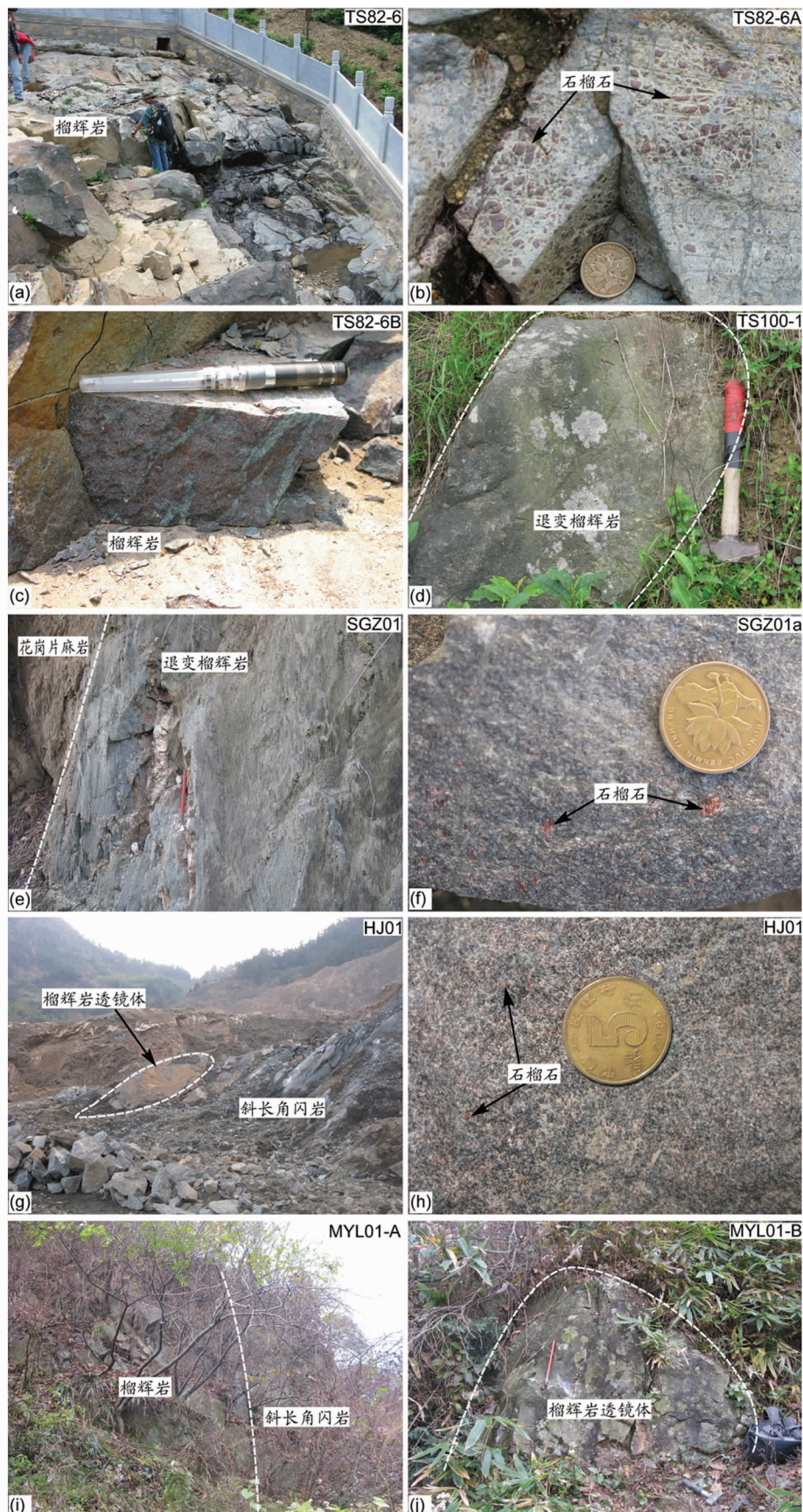


图 2 榴辉岩野外照片

(a, b, c)-百丈岩榴辉岩; (d)-华庄榴辉岩; (e, f)-上官庄榴辉岩; (g, h)-胡家河榴辉岩; (i, j)-麻岩岭榴辉岩

Fig. 2 Photos for eclogite outcrops in field

(a, b, c)-eclogites from Baizhangyan area; (d)-eclogites from Huazhuang area; (e, f)-eclogites from Shangguanzhuang area; (g, h)-eclogites from Hujiahe area; (i, j)-eclogites from Mayanling area

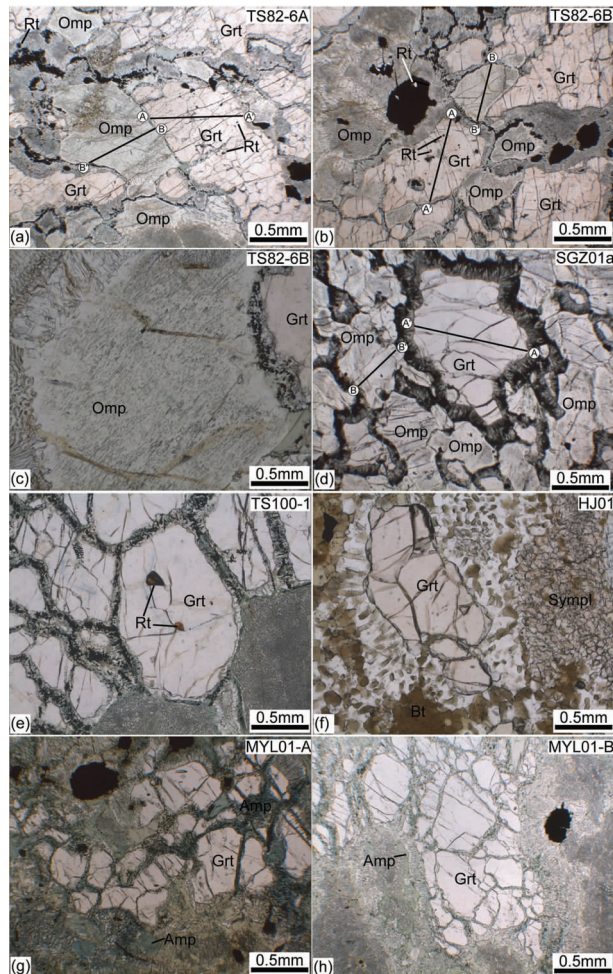


图3 榴辉岩显微照片

(a)-百丈岩榴辉岩的 Grt + Omp + Rt 峰期矿物组合, 样品 TS82-6A; (b)-百丈岩榴辉岩的 Grt + Omp + Rt 峰期矿物组合, 样品 TS82-6B; (c)-百丈岩榴辉岩中绿辉石出溶结构, 样品 TS82-6B; (d)-上官庄榴辉岩的 Grt + Omp + Rt 峰期矿物组合, 样品 SGZ01a; (e)-华庄强烈退变榴辉岩, 样品 TS100-1; (f)-胡家河强烈退变榴辉岩, 样品 HJ01; (g, h)-麻岩岭强烈退变榴辉岩, 样品 MYL01-A 和 MYL01-B

Fig. 3 Photomicrographs for eclogites

(a)-the peak assemblage of Grt + Omp + Rt in the eclogites from Baizhangyan area, sample TS82-6A; (b)-the peak assemblage of Grt + Omp + Rt in the eclogites from Baizhangyan area, sample TS82-6B; (c)-the exsolution texture of omphacite, sample TS82-6B; (d)-the peak assemblage of Grt + Omp + Rt in the eclogites from Shangguanzhuang area, sample SGZ01a; (e)-the retro-metamorphic eclogites from Huazhuang area, sample TS100-1; (f)-the retro-metamorphic eclogites from Hujiahe area; (g, h)-the retro-metamorphic eclogites from Mayanling area

表1 北大别百丈崖和上官庄榴辉岩中石榴石和绿辉石代表性矿物成分(wt%)

Table 1 The represent minerals compositions of eclogites from Baizhangya and Shangguanzhuang areas in the North Dabie Terrane

样品号	TS82-6A		TS82-6B		SGZ01a	
	矿物对	Grt-7	Omp-12	Grt-3	Omp-3	Grt-11
SiO ₂	39.40	54.69	38.93	54.76	40.72	55.19
TiO ₂	0.11	0.09	0.04	0.04	0.02	0.06
Al ₂ O ₃	20.63	4.08	21.41	4.13	22.67	4.55
Cr ₂ O ₃	0.00	0.03	0.00	0.02	0.07	0.05
FeO	22.45	8.08	21.51	7.98	14.56	2.41
MnO	0.13	0.00	0.15	0.01	0.32	0.00
MgO	5.57	10.97	5.52	10.94	11.70	13.84
CaO	12.20	17.50	12.43	17.53	10.34	20.43
Na ₂ O	0.10	4.03	0.05	4.07	0.07	2.94
K ₂ O	0.00	0.01	0.00	0.01	0.00	0.05
Total	100.59	99.47	100.05	99.48	100.47	99.52
O	12	6	12	6	12	6
Si	3.02	2.00	3.00	2.00	3.00	1.99
Ti	0.01	0.00	0.00	0.00	0.00	0.00
Al	1.87	0.18	1.94	0.18	1.97	0.19
Cr	0.00	0.00	0.00	0.00	0.00	0.00
Fe ³⁺	0.08	—	0.06	—	0.03	—
Fe ²⁺	1.36	0.25	1.32	0.24	0.87	0.07
Mg	0.64	0.60	0.63	0.60	1.29	0.74
Mn	0.01	0.00	0.01	0.00	0.02	0.00
Ca	1.00	0.69	1.03	0.69	0.82	0.79
Na	0.02	0.29	0.01	0.29	0.01	0.21
K	0.00	0.00	0.00	0.00	0.00	0.00
Sum	8.00	4.00	8.00	4.00	8.00	4.00
D87	—	—	—	—	—	—
Fe ³⁺	—	0.15	—	0.14	—	0.04
Fe ²⁺	—	0.10	—	0.10	—	0.03
C74	—	—	—	—	—	—
Fe ³⁺	—	0.11	—	0.11	—	0.01
Fe ²⁺	—	0.14	—	0.14	—	0.06
S20	—	—	—	—	—	—
Fe ³⁺	—	0.12	—	0.12	—	0.04
Fe ²⁺	—	0.12	—	0.12	—	0.04

注: 全 Fe²⁺ = 假设 Fe 均为 Fe²⁺; C74 = Cawthron and Collerson (1974) 端元组分校正 Fe²⁺; D87 = Droop (1987) 电价平衡校正 Fe²⁺; S20 = Schmid *et al.* (2000) 的 Fe²⁺ / Fe³⁺ 为 1 : 1

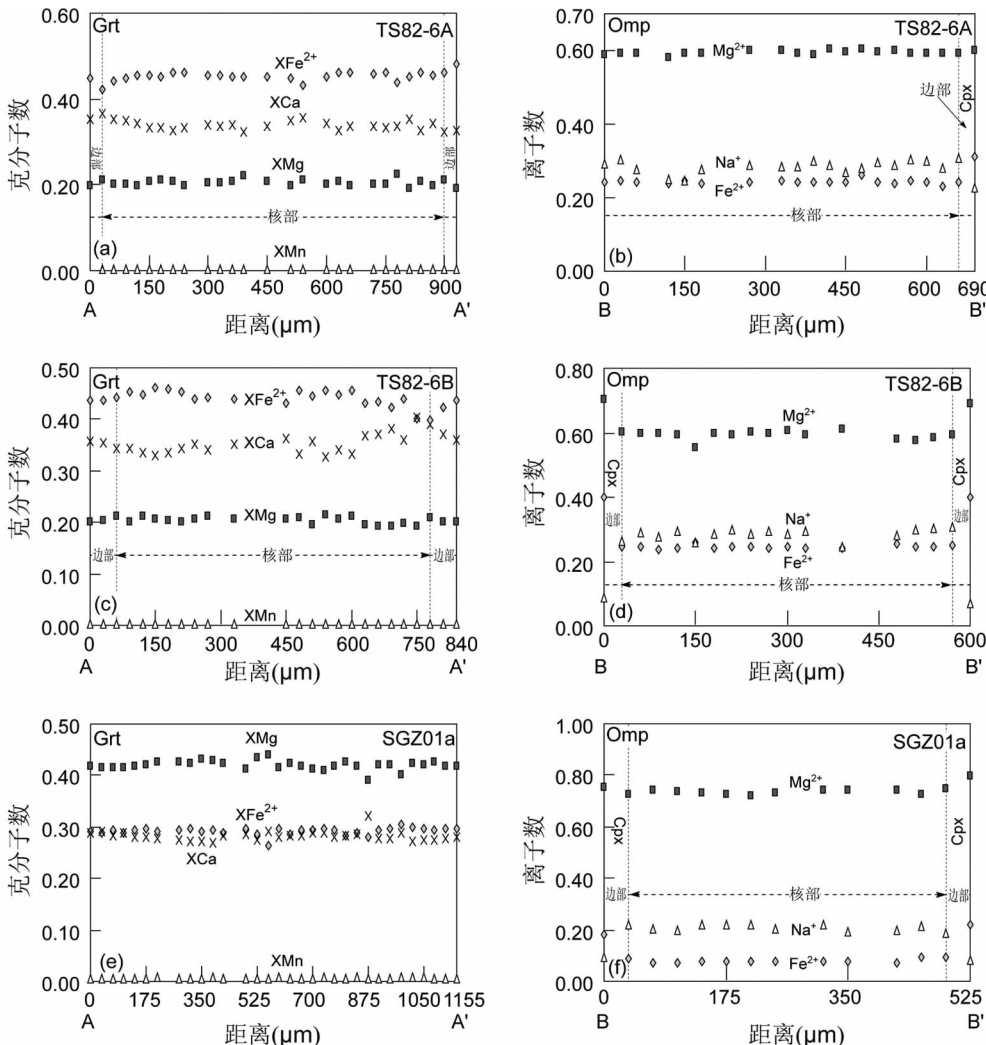


图4 百丈岩和上官庄榴辉岩中主要矿物成分剖面

(a, b)-百丈岩样品 TS82-6A 中石榴石和绿辉石成分剖面; (c, d)-百丈岩样品 TS82-6B 中石榴石和绿辉石成分剖面; (e, f)-上官庄样品 SGZ01a 中石榴石和绿辉石成分剖面

Fig. 4 The compositions of the main minerals in eclogites from Baizhangyan and Shangguanzhuang areas

(a, b)-the composition profiles for garnet and omphacite in sample TS82-6A respectively; (c, d)-the composition profiles for garnet and omphacite in sample TS82-6B respectively; (e, f)-the composition profiles for garnet and omphacite in sample SGZ01a respectively

0.1~0.3mm, 呈他形, 边缘偶见榍石反应边。

上官庄榴辉岩同样保存有完好的 $\text{Grt} + \text{Omp} + \text{Rt}$ 矿物组合, 石榴石多为他形, 内部包体较少, 偶见金红石和绿辉石包体, 粒径约 0.3~2mm, 边缘具 $\text{Amp} + \text{Pl}$ 反应边(图 3d); 绿辉石多呈不规则状, 粒径约 0.1~1mm, 常分解成 $\text{Di} + \text{Pl} + \text{Amp}$ 后成合晶(图 3d), 内部具石英、长石定向排列的矿物出溶体; 基质中的金红石较少见, 多为他形, 粒径约 0.1~0.3mm。

华庄、胡家河和麻岩岭一带的榴辉岩退变强烈, 峰期矿物仅发育石榴石和金红石, 绿辉石均退变形成后成合晶(图 3e-h), 并有后期的含水矿物 Bt 和 Amp 发育。相对而言, 石榴石则保存较好, 其内部常含金红石包体(图 3e), 具半自形-他形, 粒径约 0.3~1mm, 但较为破碎, 边缘具 $\text{Amp} + \text{Pl}$ 的反应边。

2.3 榴辉岩中石榴石、绿辉石矿物成分

由于百丈岩和上官庄地区榴辉岩峰期矿物组合保存最为完整, 故本次矿物化学成分分析主要针对来自这 2 个地区的样品 TS82-6A, B 和样品 SGZ01a 的石榴石和绿辉石。其中石榴石和绿辉石的矿物结构式分别以 12 个氧和 6 个氧计算。石榴子石的 Fe^{2+} 的调整根据电价平衡方法(Droop, 1987), 绿辉石 Fe^{2+} 的调整则采用四种不同的方法(全 Fe^{2+} ; Cawthron and Collerson, 1974; Droop, 1987; Schmid *et al.*, 2000)。矿物成分测试分析在中国科学院地质与地球物理研究所电子探针分析实验室完成, 仪器型号为 JAX-8100, 工作条件为加速电压 15kV, 电子束流 20nA, 分析结果见表 1。

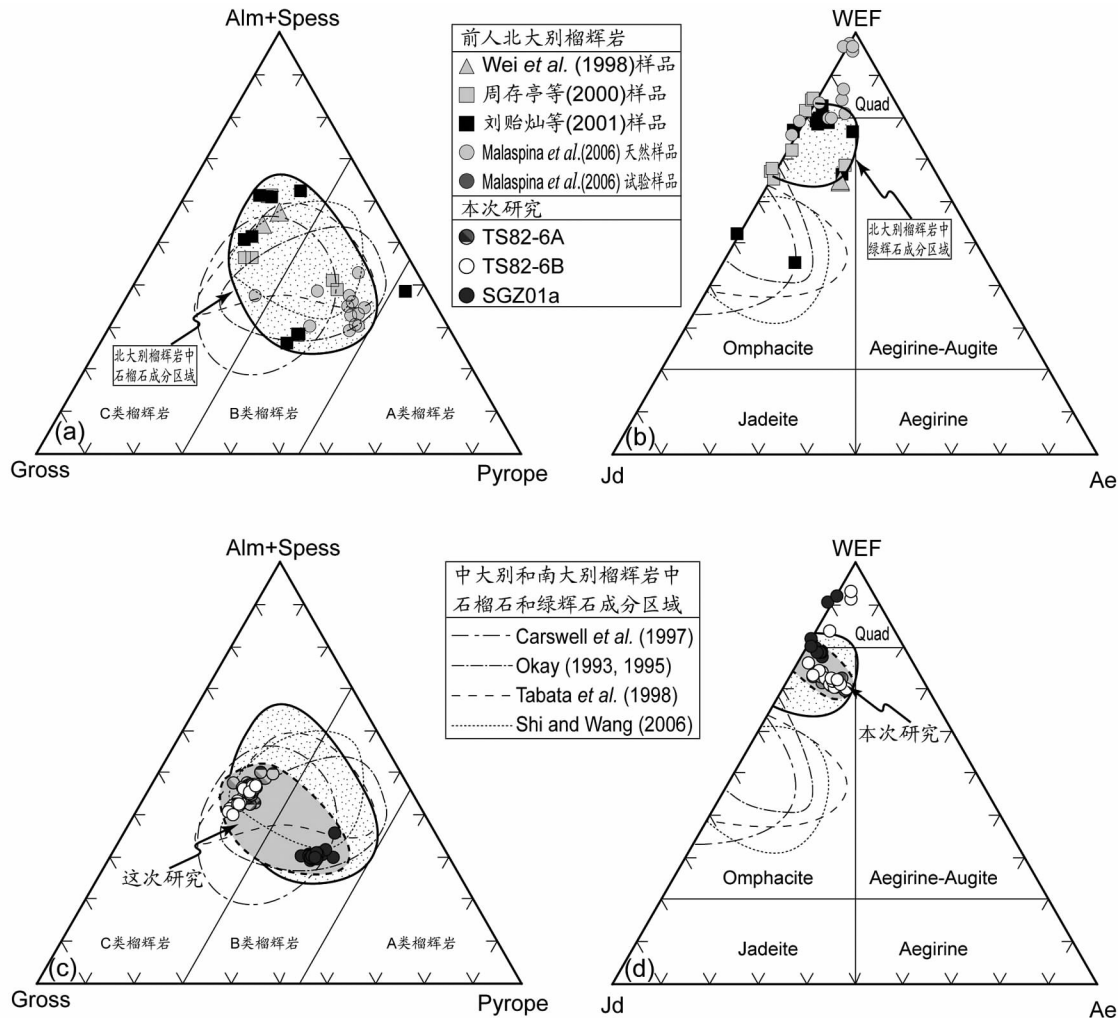


图5 榴辉岩中石榴石和绿辉石成分三角图

(a,b)-前人北大别、中大别和南大别榴辉岩中石榴石和绿辉石成分三角图；(c,d)-本次研究北大别榴辉岩中石榴石和绿辉石成分三角图

Fig. 5 The composition triangle diagram of garnet and omphacites

(a, b)-the composition of garnets and omphacites in eclogites in the North, Central and South Dabie terranes from previous data of other authors; (c, d)-the composition of garnets and omphacites in eclogites in this study

石榴石 百丈岩地区的样品 TS82-6A, B 和上官庄地区的样品 SGZ01a 中的石榴石成分变化基本相同, X_{Fe} , X_{Mg} , X_{Ca} 和 X_{Mn} 较为均匀, 没有明显的成分变化(图 4a, c, e)。稍有不同的是前 2 个样品 TS82-6A, B 的石榴石在边部成分发生轻微变化, X_{Fe} 轻微上升, X_{Mg} 和 X_{Ca} 轻微下降, X_{Mn} 则因含量较少没有变化, 而样品 SGZ01a 的石榴石没有成分变化。此外, 上官庄样品 SGZ01a 中石榴石的 $X_{\text{Mg}} (> 40\text{mol}\%)$ 明显高于样品 TS82-6A, B 中石榴石的 $X_{\text{Mg}} (\sim 20\text{mol}\%)$ 。

绿辉石 3 个样品中绿辉石的成分变化型式基本一致, 均具有核、边结构(图 4b, d, f)。在核部均为绿辉石, Mg^{2+} , Na^+ 和 Fe^{2+} 总体呈平坦型分布, 在边部矿物成分发生改变, 转变成透辉石组分, Na^+ 的含量急剧降低, Mg^{2+} 和 Fe^{2+} 上升。这暗示了退变质变化特征。类似地, 上官庄样品 SGZ01a 和百丈岩地区的样品 TS82-6A, B 中绿辉石成分含量略有不

同, 其前者的 Mg^{2+} 含量为 $0.72 \sim 0.75 \text{ p.f.u.}$, Na^+ 含量为 $0.18 \sim 0.22 \text{ p.f.u.}$, Fe^{2+} 含量为 $0.07 \sim 0.10 \text{ p.f.u.}$, 后者的 Mg^{2+} 含量为 $0.55 \sim 0.60 \text{ p.f.u.}$, Na^+ 含量为 $0.24 \sim 0.31 \text{ p.f.u.}$, Fe^{2+} 含量为 $0.24 \sim 0.26 \text{ p.f.u.}$

为了便于比较, 作者收集了已发表的北大别(Wei et al., 1998; 周存亭等, 2000; 刘贻灿等, 2001; Liu et al., 2005, 2007; Malaspina et al., 2006)和中大别、南大别(Okay, 1993, 1995; Carswell et al., 1997; Tabata et al., 1998; Shi and Wang, 2006)榴辉岩中石榴石和绿辉石的分析数据(图 5a, b)。不难看出, 北大别石榴石成分与中大别和南大别石榴石成分基本一致(图 5a), 而绿辉石成分则明显不同, 相比较而言, 北大别硬玉组分含量偏低(图 5b)。对比本次研究结果来看, 同样地, 石榴石成分与前人石榴石成分相当(图 5c), 绿辉石中的硬玉组分则多在 $16\text{mol\%} \sim 25\text{mol\%}$ (图

5d), 明显低于中大别和南大别的绿辉石的硬玉组分30 mol% ~70 mol%。换言之, 北大别榴辉岩和中大别、南大别榴辉岩的矿物成分差异主要表现在绿辉石成分方面, 推测这种差异可能与变质原岩组分相关。

3 北大别榴辉岩峰期温度条件

3.1 峰期温度评价

大别造山带榴辉岩的峰期温压条件的精确评价一直是一个难点问题(Wang et al., 1990, 1992; Okay, 1993; Carswell et al., 1997; Liou et al., 1997; Wei et al., 1998; Tabata et al., 1998; 刘贻灿等, 2001; Shi and Wang, 2006; Malaspina et al., 2006; Liu et al., 2007)。相比较而言, 中大别和南大别榴辉岩因矿物组合充分, 相关的温压计齐全, 这2个单元的榴辉岩的峰期P-T条件评价较为准确(Carswell et al., 1997; Schmid et al., 2000; Rolfo et al., 2000, 2004; Franz et al., 2001; Poyer et al., 2004; Li et al., 2004; Shi and Wang, 2006)。而北大别榴辉岩由于矿物组合单一, 压力标定的困难, 导致温度评价的不确定性。此外, 如前述温度计算受到多种因素的制约, 进一步增加了精确温度评价的难度。

为保证峰期温度评价相对精确性, 我们对分析样品进行了细致的岩相学和矿物成分剖面的研究(图4), 依据Malaspina et al. (2006)的论述, 我们选取了石榴石和绿辉石核部成分作为峰期成分。从图4可以看出, 3个样品的绿辉石具有明显的扩散环带(图4b, d, f), 其核部均为绿辉石, 边部则转变为透辉石。而对石榴石矿物而言, 样品TS82-6A和TS82-6B的石榴石显示了退变环带特征(图4a, c), 边部 X_{Mg} 降低, 核部 X_{Mg} 增高, 暗示了边部成分受到改造, 核部成分则未受影响。稍有不同的是样品SGZ01a, 尽管其石榴石没有显现扩散环带特征(图4e), 且不排除其受到后期热事件的影响, 使峰期成分被改造, 从而成分较为均匀。但对比样品TS82-6A和TS82-6B石榴石的成分变化来看, 后期影响仅限于边部狭小的有限区段, 并未波及到矿物核部。换言之, 该石榴石也许受到后期退变改造影响非常小或者没有受到明显改造。因此, 我们认为选择这两个矿物的核部成分作为峰期矿物成分是合适的。

尽管如此, 温度评价的最大不确定性主要是来自温度计选择的差异, 以及 Fe^{2+} 的校正, 特别是绿辉石中 Fe^{2+} 的含量, 由于其相对含量较少, 因此轻微含量差异, 直接导致计算的温度较大差异。为此, 我们选取了5个Grt-Cpx Fe-Mg温度计(Eills and Green, 1979; Powell, 1985; Krogh, 1988, 2000; Ai, 1994)进行对比分析, 保证温度计算的客观性。同时, 主要矿物 Fe^{2+} 的校正则采用了4种方法进行计算比较: (a)全 Fe^{2+} 法; (b) Cawthron and Collerson (1974)端元组分校 Fe^{2+} 法; (c) Droop (1987)电价平衡校 Fe^{2+} 法; (d) Schmid et al. (2000)的 Fe^{3+}/Fe^{2+} 为1:1法。根据Sobolev

et al. (1999)、Schmid et al. (2000, 2003)、Poyer et al. (2004)、Li et al. (2005)的穆斯鲍尔谱(Mossbauer spectroscopy)和X射线吸收近边结构分析(XANES:X-ray absorption near-edge structure analysis)技术的分析结果, 由于石榴石中 Fe^{2+} 的含量较高, 利用Droop (1987)电价平衡对石榴石进行 Fe^{2+} 的校正后, 对于温度计算没有明显干扰, 故本次研究中石榴石的 Fe^{2+} 的含量应用电价平衡法进行校正。而绿辉石 Fe^{2+} 的含量则利用上述4种方法进行校正, 并应用于5个温度计计算。

由于北大别榴辉岩的峰期矿物组合为Grt + Omp + Rt, 并没有合适的压力计进行压力标定, 从而对温度估算产生较大困难, 故本文温度计算是在给定的压力条件下进行的。考虑到这次岩相学分析和前人研究结果(Tsai and Liou, 2000; Xu et al., 2005; Liu et al., 2005, 2007; Malaspina et al., 2006), 本文首先选定2个极端压力作为限定, 一个是压力标定在2.0GPa, 其代表了北大别榴辉岩最低压力; 另一极端高压, 依据绿辉石和石榴石的出溶结构(Ye et al., 2000; Tsai and Liou, 2000)标定在7.0GPa。在这2个压力范围内, 每增加0.5GPa, 计算给出一个对应温度。此外, 为避免相不平衡的影响(魏春景等, 2009), 本文选取多个矿物对进行计算, 其中样品TS82-6A矿物对为9个, 样品TS82-6B矿物对为12个, 样品SGZ01a矿物对为7个。从表2~表4和图6~图9可以看出, 无论应用何种温度计和 Fe^{2+} 的校正方法, 在相同的压力条件下, 样品TS82-6B的温度最高, 样品TS82-6A的温度次之, 而样品SGZ01a的温度最低。

3.2 不同温度计和绿辉石 Fe^{2+} 校正对温度估算的制约

通过比较不难看出, 在相同的压力条件下和应用相同的温度计, 绿辉石 Fe^{2+} 应用方法(a)校正后计算得出的温度普遍最高(图6), 在压力为2.0GPa时, 温度基本>800°C, 在压力为7.0GPa时, 温度均>900°C, 最大可至1423°C。相反, 应用方法(b)、(c)和(d)校正后得出的温度普遍偏低(表2~表4和图7~图9)。但应用方法(b)和(c)校正后得出的温度具有较大的离散性, 对同一个样品, 在相同压力条件下, 温度差异可达100~350°C(见表2~表4中的(b), (c)和图7、图8), 而方法(d)校正后计算的温度具有较好收敛性, 温度差异仅60~100°C(见表2~表4中的(d)和图9)。就这5个温度计而言, 在条件相同的情况下, Eills and Green (1979)和Ai (1994)的Grt-Cpx温度计计算的温度偏高, 而Powell (1985)和Krogh (1988, 2000)的Grt-Cpx温度计计算的温度相对较低, 它们之间的温度差值可达80~200°C(表2~表4和图6~图9)。

此外, 为了便于比较, 这里收集了前人北大别榴辉岩样品分析数据进行温度估算(图1), 其中样品6088/1来自麻岩岭地区(Wei et al., 1998), 样品S126, S0147和S0152来自周存亭等(2000), 样品98121、98122和98702来自百丈岩、华庄和黄尾河(刘贻灿等, 2001), 样品RPC09和RPC10来自

表2 样品TS82-2A估算的温度
Table 2 The estimated temperature for sample TS82-2A

Fe^{2+} 校正方法	(a) 全 Fe^{2+} 法		(b) Cawthron and Collerson (1974) 端元组分校 Fe^{2+} 法		(c) Droop (1987) 电价平衡校 Fe^{2+} 法		(d) Schmid <i>et al.</i> (2000) 的 $\text{Fe}^{3+}/\text{Fe}^{2+}$ 为 1:1 法	
	压力 (GPa)	温度 ($^{\circ}\text{C}$)	压力 (GPa)	温度 ($^{\circ}\text{C}$)	压力 (GPa)	温度 ($^{\circ}\text{C}$)	压力 (GPa)	温度 ($^{\circ}\text{C}$)
Elliott and Green (1979) Fe-Mg Grt-Cpx 温度计($^{\circ}\text{C}$)								
平均值	935	950	965	981	996	1011	1026	1087
误差	27	27	28	28	28	30	30	29
最大值	991	1007	1022	1038	1054	1069	1095	1148
最小值	909	924	939	954	969	984	999	1059
Powell (1985) Fe-Mg Grt-Cpx 温度计($^{\circ}\text{C}$)								
平均值	923	937	952	967	982	996	1011	1070
误差	28	28	29	29	29	30	30	30
最大值	982	997	1012	1027	1042	1057	1073	1133
最小值	896	910	925	939	954	968	983	1040
Krogh (1988) Fe-Mg Grt-Cpx 温度计($^{\circ}\text{C}$)								
平均值	924	940	956	973	989	1005	1022	1087
误差	29	29	30	30	31	32	32	32
最大值	984	1001	1018	1035	1052	1068	1085	1153
最小值	895	912	928	944	960	976	992	1056
Ai (1994) Fe-Mg Grt-Cpx 温度计($^{\circ}\text{C}$)								
平均值	967	999	1031	1063	1095	1128	1160	1289
误差	33	34	35	35	36	37	37	38
最大值	1036	1070	1103	1137	1170	1204	1237	1371
最小值	934	966	997	1029	1060	1092	1123	1249
Krogh (2000) Fe-Mg Grt-Cpx 温度计($^{\circ}\text{C}$)								
平均值	874	904	933	962	992	1021	1050	1168
误差	28	28	29	29	30	31	33	33
最大值	932	962	993	1023	1054	1084	1114	1236
最小值	847	876	905	933	962	991	1020	1134

Table 3 The estimated temperature for sample TS82-2B

		(a) 全 Fe ²⁺ 法										(b) Cawthron and Collerson (1974) 端元组分校 Fe ²⁺ 法										(c) Droop (1987) 电价平衡校 Fe ²⁺ 法										(d) Schmid <i>et al.</i> (2000) 的 Fe ³⁺ /Fe ²⁺ 为 1:1 法									
		Fe ²⁺ 校正方法										Fe ²⁺ 校正方法										Fe ²⁺ 校正方法										Fe ²⁺ 校正方法									
压力 (GPa)	2.0 2.5 3.0 3.5 4.0 4.5 5.0 7.0 2.0 2.5 3.0 3.5 4.0 4.5 5.0 7.0 2.0 2.5 3.0 3.5 4.0 4.5 5.0 7.0 2.0 2.5 3.0 3.5 4.0 4.5 5.0 7.0 2.0 2.5 3.0 3.5 4.0 4.5 5.0 7.0	平均值	953 969 984 999 1015 1030 1045 1107 767 780 793 806 819 832 845 896 787 801 814 827 840 853 867 920 755 768 781 793 806 819 832 883	误差	36 36 36 37 37 37 38 37 32 32 33 33 33 35 37 38 38 39 39 41 28 28 29 29 29 30	最大值	1031 1047 1062 1078 1094 1110 1126 1189 821 834 848 862 875 889 902 957 864 878 892 907 921 935 949 1006 814 827 841 854 867 880 894 947	最小值	907 922 937 952 966 981 996 1056 730 742 755 768 780 793 805 856 740 752 765 778 791 804 816 868 719 732 744 757 769 782 795 845																																
Powell (1985) Fe-Mg Grt-Cpx 温度计(℃)	平均值	942 957 972 987 1002 1016 1031 1090 749 762 774 787 799 812 824 874 771 783 796 809 821 834 847 898 737 750 762 774 787 799 811 861	误差	38 38 38 39 39 39 40 33 33 34 34 34 35 36 38 39 39 40 40 41 42 29 30 30 30 30 30 31	最大值	1023 1039 1054 1070 1085 1100 1116 1177 805 818 831 844 857 870 884 936 850 863 877 891 904 918 932 986 799 812 824 837 850 863 875 926	最小值	893 908 922 936 951 965 980 1038 711 723 735 748 760 772 784 832 721 733 746 758 770 783 795 844 700 712 724 736 748 760 772 821																																	
Krogh (1988) Fe-Mg Grt-Cpx 温度计(℃)	平均值	942 958 975 991 1008 1024 1041 1106 731 745 758 772 786 799 813 867 754 768 782 796 810 824 837 893 718 732 745 758 772 785 799 853	误差	36 36 36 37 37 37 38 33 33 34 34 34 35 36 40 40 41 41 42 43 44 26 26 27 27 27 27 28	最大值	1021 1038 1055 1073 1090 1107 1124 1193 792 806 820 835 849 864 878 936 840 855 871 886 901 916 931 991 776 790 804 817 831 845 859 915	最小值	893 909 925 941 957 973 989 1054 693 706 720 733 746 759 772 825 705 718 732 745 759 772 785 839 683 696 709 722 735 749 762 814																																	
Ai (1994) Fe-Mg Grt-Cpx 温度计(℃)	平均值	988 1021 1053 1086 1118 1151 1183 1313 749 775 801 828 854 880 907 1012 774 801 828 855 882 909 936 1044 734 760 786 812 838 864 890 994	误差	42 43 44 45 45 46 48 37 38 38 39 40 40 41 44 45 46 47 48 49 50 51 55 31 31 32 32 33 34	最大值	1083 1117 1151 1185 1219 1253 1287 1423 816 844 872 900 928 956 984 1096 871 900 930 959 989 1018 1048 1165 801 828 855 882 908 935 962 1070	最小值	931 963 995 1026 1058 1089 1121 1247 706 731 757 782 808 833 858 960 719 745 771 796 822 848 874 978 694 720 745 770 796 821 847 948																																	
Krogh (2000) Fe-Mg Grt-Cpx 温度计(℃)	平均值	892 922 951 981 1011 1040 1070 1188 680 705 729 753 777 801 826 922 703 728 753 778 802 827 852 951 668 691 715 739 763 787 811 906	误差	36 36 37 37 38 38 40 32 33 34 34 35 36 36 39 40 41 42 43 44 45 49 26 26 27 27 28 29	最大值	970 1001 1032 1063 1094 1124 1155 1279 740 766 792 818 843 869 895 997 789 816 843 870 897 924 951 1059 722 747 772 797 822 846 871 970	最小值	845 873 902 931 960 988 1017 1132 643 666 690 713 737 760 784 877 654 678 702 725 749 773 797 892 633 657 680 703 727 750 774 867																																	

表4 样品SGZ01-a估算的温度

Table 4 The estimated temperature for sample SGZ01-a

校正方法	Fe ²⁺		(a) 全 Fe ²⁺ 法		(b) Cawthron and Collerson (1974) 端元组分校 Fe ²⁺ 法		(c) Droop (1987) 电价平衡校 Fe ²⁺ 法		(d) Schmid <i>et al.</i> (2000) 的 Fe ³⁺ /Fe ²⁺ 为 1:1 法																									
	(GPa)	压力	2.0	2.5	3.0	3.5	4.0	4.5	5.0	5.0	7.0	2.0	2.5	3.0	3.5	4.0	4.5	5.0	7.0	2.0	2.5	3.0	3.5	4.0	4.5	5.0	7.0							
Ells and Green (1979) Fe-Mg Grt-Cpx 温度计(℃)	平均值	832	847	861	876	891	905	920	978	786	800	814	828	842	856	870	925	694	707	719	732	745	757	770	821	660	672	684	696	709	721	733	782	
	误差	28	29	29	30	30	31	31	55	56	57	57	58	59	59	62	117	118	120	121	123	124	126	132	20	21	21	21	21	22	22	23		
Powell (1985) Fe-Mg Grt-Cpx 温度计(℃)	平均值	877	892	908	923	938	953	968	1028	870	885	900	915	930	945	960	1020	853	868	882	897	912	927	942	1001	692	704	717	730	742	755	768	818	
	误差	795	809	823	838	852	866	880	937	742	755	768	782	795	808	822	875	572	583	594	605	616	627	638	683	632	644	656	668	680	692	704	752	
Knog (1988) Fe-Mg Grt-Cpx 温度计(℃)	平均值	815	829	843	857	871	885	899	956	768	781	794	808	821	835	848	902	674	686	698	710	723	735	747	796	638	650	662	674	685	697	709	756	
	误差	29	30	30	31	31	33	33	57	58	58	59	60	60	61	64	119	121	122	124	125	127	128	134	21	21	21	21	22	22	22	23		
Ai (1994) Fe-Mg Grt-Cpx 温度计(℃)	平均值	862	876	891	906	920	935	949	1008	854	869	883	898	912	927	941	999	836	851	865	879	894	908	922	979	671	683	695	707	720	732	744	792	
	误差	777	790	804	818	831	845	859	913	722	735	748	761	773	786	799	850	549	560	571	581	592	602	613	655	610	622	633	645	656	668	679	725	
Knog (1988) Fe-Mg Grt-Cpx 温度计(℃)	平均值	810	826	841	857	872	888	903	965	758	773	788	802	817	832	847	906	657	671	684	698	711	724	738	791	619	631	644	657	670	683	695	746	
	误差	32	33	33	34	34	34	35	36	62	63	64	65	66	67	68	71	128	130	132	134	136	137	139	146	22	23	23	23	24	24	25	25	
Ai (1994) Fe-Mg Grt-Cpx 温度计(℃)	最大值	901	932	964	996	1028	1060	1092	1220	891	922	954	986	1017	1049	1081	1207	868	899	930	961	992	1023	1054	1178	666	691	717	742	768	793	819	921	
	最小值	795	825	854	884	913	942	972	1089	727	754	781	808	835	863	890	998	525	547	569	591	612	634	656	743	596	620	644	668	691	715	739	835	
Knog (2000) Fe-Mg Grt-Cpx 温度计(℃)	平均值	710	738	766	793	821	849	877	988	660	687	713	740	766	792	819	924	566	589	613	637	660	684	708	803	528	551	574	596	619	642	664	755	
	误差	31	32	33	33	34	34	35	36	39	60	61	63	65	66	68	69	76	122	125	128	132	135	138	142	155	21	21	22	22	23	24	26	30

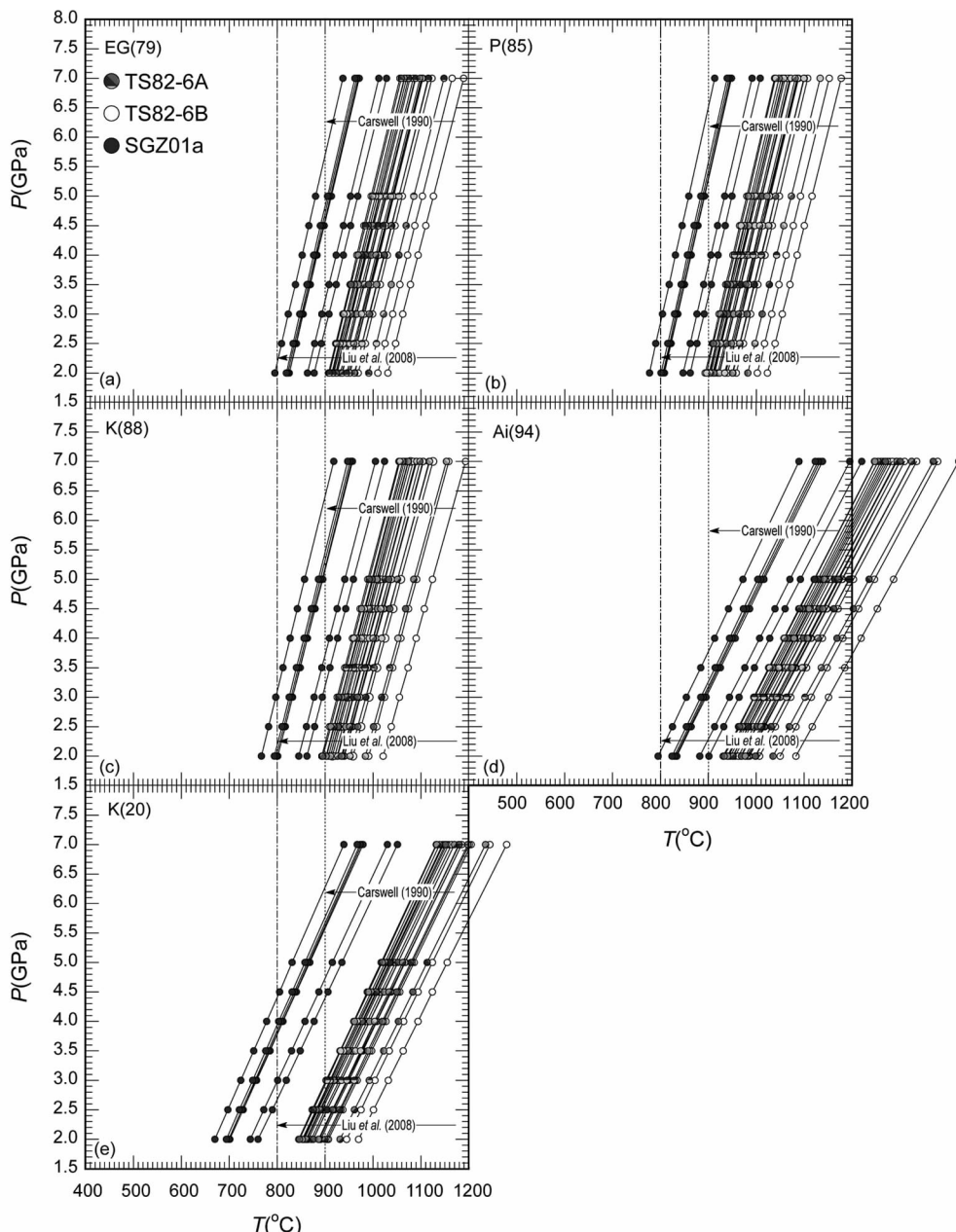


图6 假设Fe均为 Fe^{2+} 并应用不同温压计在标定压力条件下计算的峰期温度图

(a)-应用Ellis and Green (1979)的Grt-Cpx Fe-Mg温度计计算的温度; (b)-应用Powell (1985)的Grt-Cpx Fe-Mg温度计计算的温度; (c)-应用Krogh (1988)的Grt-Cpx Fe-Mg温度计计算的温度; (d)-应用Ai (1994)的Grt-Cpx Fe-Mg温度计计算的温度; (e)-应用Krogh (2000)的Grt-Cpx Fe-Mg温度计计算的温度

Fig. 6 The peak temperature calculated using different thermometers at the calibrated pressure, assumed the all Fe as Fe^{2+}
 (a)-the peak temperature calculated using Grt-Cpx Fe-Mg thermometers of Ellis and Green (1979); (b)-the peak temperature calculated using Grt-Cpx Fe-Mg thermometers of Powell (1985); (c)-the peak temperature calculated using Grt-Cpx Fe-Mg thermometers of Krogh (1988); (d)-the peak temperature calculated using Grt-Cpx Fe-Mg thermometers of Ai (1994); (e)-the peak temperature calculated using Grt-Cpx Fe-Mg thermometers of Krogh (2000)

上官庄(Malaspina *et al.*, 2006)。同样地,这些温度呈现有规律的变化(图10),在标定压力和应用相同温度计时,绿辉石 Fe^{2+} 应用方法(a)校正后计算的温度普遍偏高,温度基本>800°C。绿辉石 Fe^{2+} 用方法(d)校正后得出的温度最低,

具有较好的收敛性,而绿辉石 Fe^{2+} 用方法(b)和(c)校正后计算的温度离散性较大,除Malaspina *et al.* (2006)样品外,其余样品温度也相对偏低。对于温度计,在条件相同时,Krogh (2000)温度计计算的温度最低,Ellis and Green

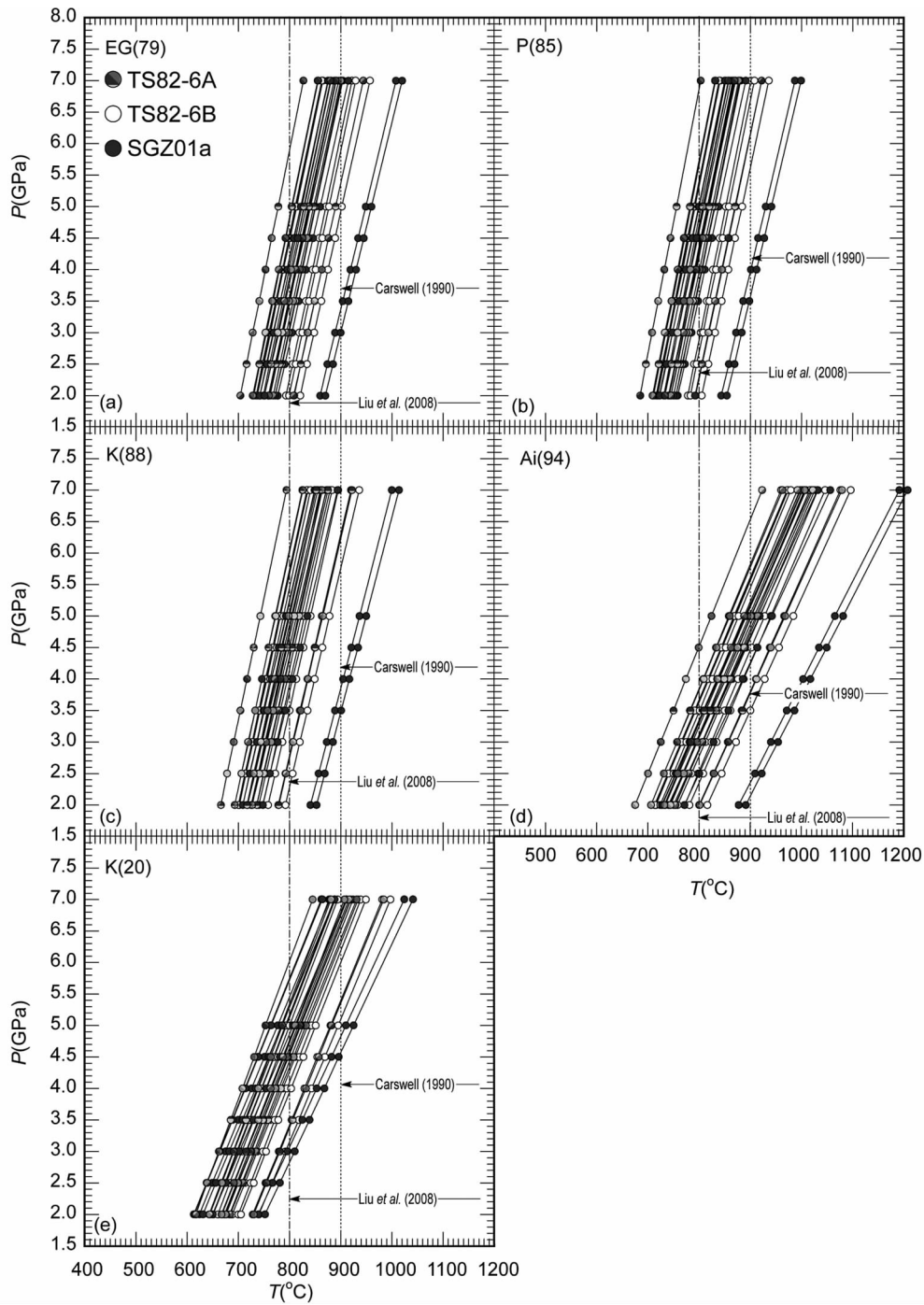


图 7 Cawthon and Collerson (1974) 端元组分校正 Fe^{2+} ，并应用不同温压计在标定压力条件下计算的峰期温度图
 (a)-应用 Ellis and Green (1979) 的 Grt-Cpx Fe-Mg 温度计计算的温度；(b)-应用 Powell (1985) 的 Grt-Cpx Fe-Mg 温度计计算的温度；(c)-应用 Krogh (1988) 的 Grt-Cpx Fe-Mg 温度计计算的温度；(d)-应用 Ai (1994) 的 Grt-Cpx Fe-Mg 温度计计算的温度；(e)-应用 Krogh (2000) 的 Grt-Cpx Fe-Mg 温度计计算的温度

Fig. 7 The peak temperature calculated using different thermometers at the calibrated pressure, applied Fe^{2+} correction of Cawthon and Collerson (1974)

(a)-the peak temperature calculated using Grt-Cpx Fe-Mg thermometers of Ellis and Green (1979); (b)-the peak temperature calculated using Grt-Cpx Fe-Mg thermometers of Powell (1985); (c)-the peak temperature calculated using Grt-Cpx Fe-Mg thermometers of Krogh (1988); (d)-the peak temperature calculated using Grt-Cpx Fe-Mg thermometers of Ai (1994); (e)-the peak temperature calculated using Grt-Cpx Fe-Mg thermometers of Krogh (2000)

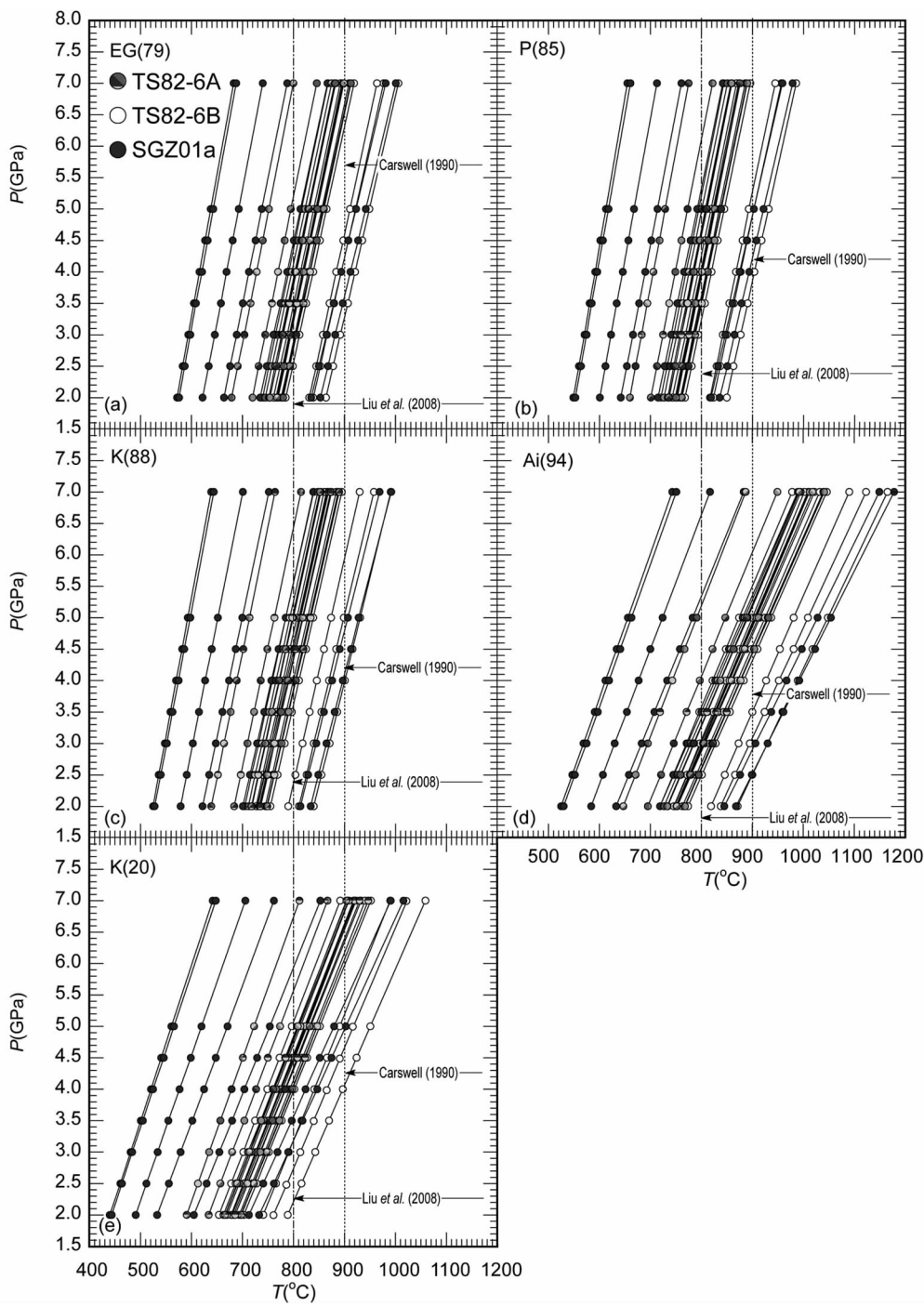


图 8 Droop (1987) 电价平衡校正 Fe^{2+} ，并应用不同温压计在标定压力条件下计算的峰期温度图

(a)-应用 Ellis and Green (1979) 的 Grt-Cpx Fe-Mg 温度计计算的温度；(b)-应用 Powell (1985) 的 Grt-Cpx Fe-Mg 温度计计算的温度；(c)-应用 Krogh (1988) 的 Grt-Cpx Fe-Mg 温度计计算的温度；(d)-应用 Ai (1994) 的 Grt-Cpx Fe-Mg 温度计计算的温度；(e)-应用 Krogh (2000) 的 Grt-Cpx Fe-Mg 温度计计算的温度

Fig. 8 The peak temperature calculated using different thermometers at the calibrated pressure, applied Fe^{2+} correction of Droop (1987)

(a)-the peak temperature calculated using Grt-Cpx Fe-Mg thermometers of Ellis and Green (1979) ; (b)-the peak temperature calculated using Grt-Cpx Fe-Mg thermometers of Powell (1985) ; (c)-the peak temperature calculated using Grt-Cpx Fe-Mg thermometers of Krogh (1988) ; (d)-the peak temperature calculated using Grt-Cpx Fe-Mg thermometers of Ai (1994) ; (e)-the peak temperature calculated using Grt-Cpx Fe-Mg thermometers of Krogh (2000)

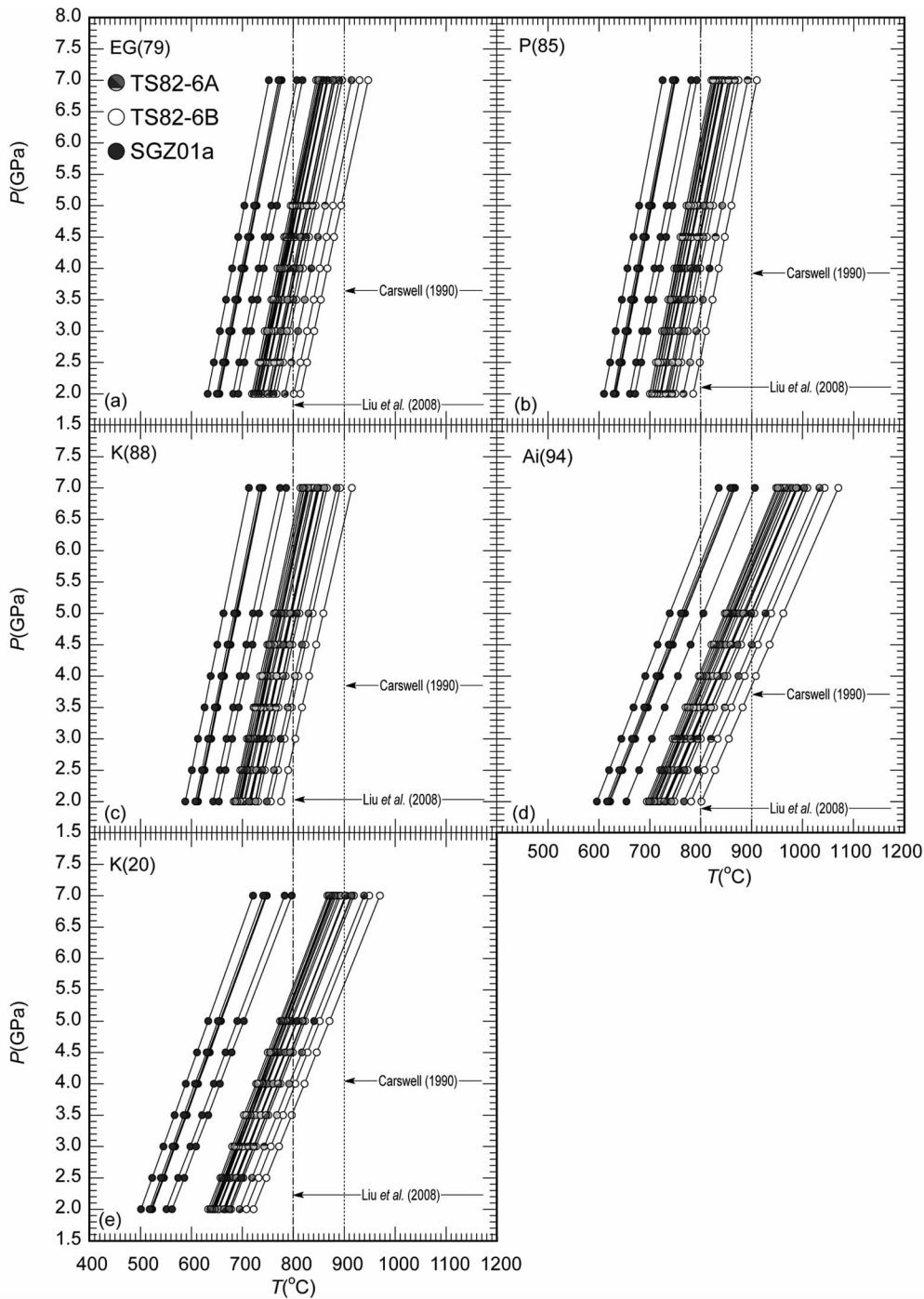


图9 Schmid *et al.* (2000) 的 $\text{Fe}^{2+}/\text{Fe}^{3+}$ 为 1:1 校正 Fe^{2+} ，并应用不同温压计在标定压力条件下计算的峰期温度图
 (a)-应用 Ellis and Green (1979) 的 Grt-Cpx Fe-Mg 温度计计算的温度；(b)-应用 Powell (1985) 的 Grt-Cpx Fe-Mg 温度计计算的温度；(c)-应用 Krogh (1988) 的 Grt-Cpx Fe-Mg 温度计计算的温度；(d)-应用 Ai (1994) 的 Grt-Cpx Fe-Mg 温度计计算的温度；(e)-应用 Krogh (2000) 的 Grt-Cpx Fe-Mg 温度计计算的温度

Fig. 9 The peak temperature calculated using different thermometers at the calibrated pressure, assumed $\text{Fe}^{2+}/\text{Fe}^{3+}$ as 1:1 from Schmid *et al.* (2000)

(a)-the peak temperature calculated using Grt-Cpx Fe-Mg thermometers of Ellis and Green (1979); (b)-the peak temperature calculated using Grt-Cpx Fe-Mg thermometers of Powell (1985); (c)-the peak temperature calculated using Grt-Cpx Fe-Mg thermometers of Krogh (1988); (d)-the peak temperature calculated using Grt-Cpx Fe-Mg thermometers of Ai (1994); (e)-the peak temperature calculated using Grt-Cpx Fe-Mg thermometers of Krogh (2000)

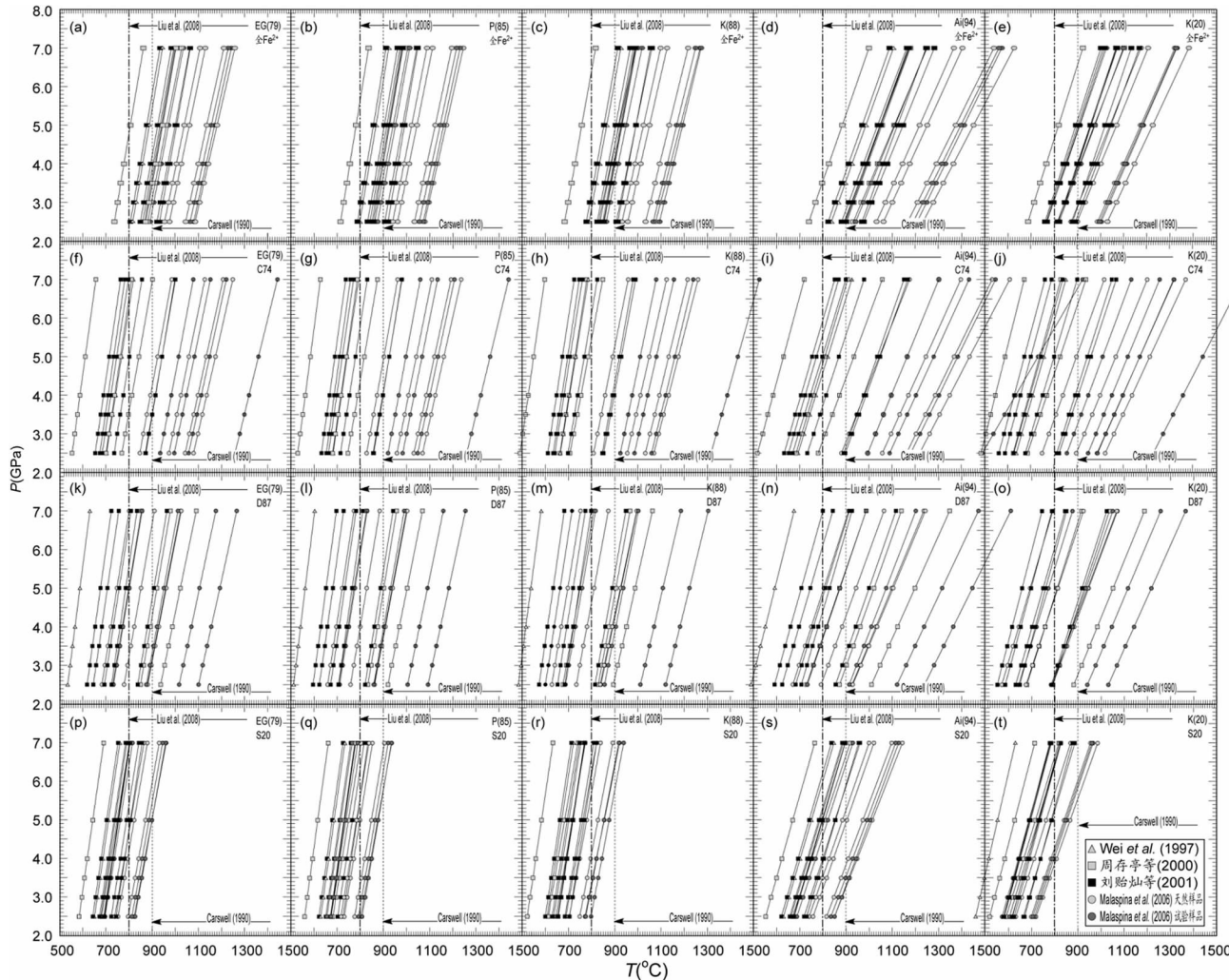


图 10 前人北大别榴辉岩在标定压力条件下,应用不同温压计和不同的校正 Fe^{2+} 方法计算法的温度条件图

(a-e)-假设 Fe 均为 Fe^{2+} 计算的峰期温度; (f-j)-Cawthon and Collerson (1974) 端元组分校正 Fe^{2+} 计算的峰期温度; (k-o)-Droop (1987) 电价平衡校正 Fe^{2+} 计算的峰期温度; (p-t)-Schmid et al. (2000) 的 $\text{Fe}^{2+}/\text{Fe}^{3+}$ 为 1:1 校正 Fe^{2+} 计算的峰期温度

Fig. 10 The peak temperature for the NDT eclogites from previous studies, calculated using different thermometers and the methods of Fe^{2+} correction at the calibrated pressure

(a-e)-the peak temperature calculated using different thermometers, assumed the Fe as Fe^{2+} ; (f-j)-the peak temperature calculated using different thermometers, applied the Fe^{2+} correction of Cawthon and Collerson (1974); (k-o)-the peak temperature calculated using different thermometers, applied the Fe^{2+} correction of Droop (1987); (p-t)-the peak temperature calculated using different thermometers, assumed $\text{Fe}^{2+}/\text{Fe}^{3+}$ as 1:1 from Schmid et al. (2000)

(1979) 和 Ai (1994) 的温度计算的温度最高, Powell (1985) 和 Krogh (1988) 估算的温度介于两者之间。

4 北大别榴辉岩归属讨论

基于上述论述,不难看出榴辉岩的峰期温度估计受到诸多因素限制,且估算的温度有较大的变化范围。这为判别哪个温度能较为真实地反映北大别榴辉岩的峰期温度带来了困难。这里为了便于讨论,本文对样品 TS82-6A, B 和样品

SGZ01a, 在相同压力、绿辉石 Fe^{2+} 的校正方法和温度计条件下得出的平均温度进行了论述(表 2~表 4 和图 11)。

通常每一个计算的温度点,需要给定一个压力。从表 2~表 4 可以看出,每间隔 0.5GPa, 计算的温度差值基本上在 20~30°C 之间。换言之,温度的精确评价需要有确定的压力值。然而,正如前述,北大别榴辉岩缺乏合适的矿物组合用于压力计算,这直接影响到温度的估计。为此,依据前人的研究和本次岩相学的分析,我们对北大别榴辉岩峰期压力范围进行了设定。从 Malaspina et al. (2006) 的实验岩石学结果,以及 Liu et al. (2007) 的钻石中金刚石的判定来看,我们

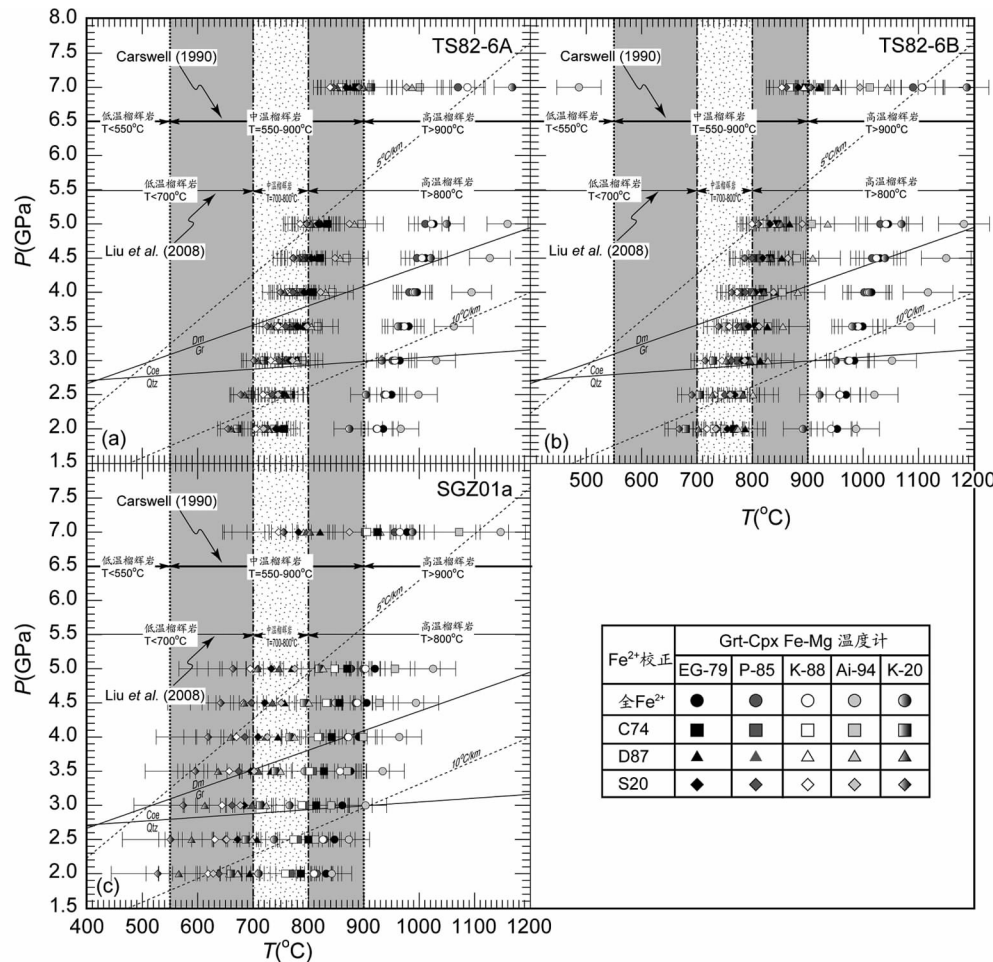


图 11 本次研究应用不同的温压计和不同的校正 Fe^{2+} 的方法计算的平均峰期温度条件

(a)-样品 TS82-6A 的平均峰期温度条件; (b)-样品 TS82-6B 的平均峰期温度条件; (c)-样品 SGZ01a 的平均峰期温度条件

Fig. 11 The average peak temperature for eclogites in this study, using different thermometers and methods of Fe^{2+} correction

(a)-the average peak temperature for sample TS82-6A; (b)-the average peak temperature for sample TS82-6B; (c)-the average peak temperature for sample SGZ01a

将压力下限标定在 3.5 GPa, 这代表了柯石英稳定域。压力上限则假定在 5.0 GPa。尽管 Ye *et al.* (2000) 和 Tsai and Liou (2000) 根据石榴石和绿辉石析出的矿物推测压力在 5 ~ 7 GPa, 但从目前的温度计算看(图 11), 在压力为 7.0 GPa 时, 样品 TS82-6A, B 全部和样品 SGZ01a 大部落入变质禁区, 这暗示了压力估计偏高(表 2 和图 11a, b, c)。此外, 通常的温度计适用的压力范围为 0.5 ~ 6.0 GPa (Eills and Green, 1979; Powell, 1985; Krogh, 1988, 2000; Ai, 1994), 超出这个范围的温度已无法准确判定。而本次岩相学的研究并没有明确的超高压矿物被观测到, 如金刚石和柯石英(图 3)。综合这些因素, 我们认为 3.5 ~ 5.0 GPa 压力范围比较合理。

对于温度计, Krogh (2000) 的 Grt-Cpx Fe-Mg 温度计可能较为理想。Krogh (2000) 认为该温度计不仅考虑到石榴石 Fe, Mg, Ca 对温度计算的影响, 同时还考虑到石榴石 Mn 和绿辉石 Na 对温度的影响, 且适用的岩石类型范围也是十分

广泛的。同 Eills and Green (1979), Powell (1985) 和 Krogh (1988) 温度计相比, 其计算的温度偏低一些(图 6 ~ 图 11)。且该温度计已被广泛应用于各类榴辉岩的温度评价中, 并与地质事实也基本一致 (Wain, 1998; Cuthbert *et al.*, 2000; Nowlan *et al.*, 2000; Schmid *et al.*, 2000, 2003; Shi and Wang, 2006)。从目前的温度评价来看, 最关键的是绿辉石 Fe^{2+} 校正。方法(a)显然不合理, 估算温度过高, 温度最高可达 1500°C, 超出了变质温度最高极限 (Bucher and Frey, 2002), 况且绿辉石中的 Fe 不可能均为 Fe^{2+} 。方法(b)和(c)估算的温度则相对偏高, 离散性较大, 而应用方法(d)校正绿辉石 Fe^{2+} 后估算的温度相对较低, 且具有较好的收敛性(图 6 ~ 图 11)。尽管, Carswell *et al.* (1997) 和 Cuthbert *et al.* (2000) 建议方法(b)和(c)估算的温度较为合适, 但从 Sobolev *et al.* (1999), Schmid *et al.* (2000, 2003), Proyer *et al.* (2004) 和 Li *et al.* (2005) 研究结果来看, 方法(d)也许较为理想。

Schmid *et al.* (2000, 2003)、Proyer *et al.* (2004) 和 Li *et al.* (2005) 在对南大别和中大别榴辉岩进行温压评价时, 应用穆斯鲍尔谱(Mossbauer spectroscopy)和X射线吸收近边结构分析技术(XANES: X-ray absorption near-edge structure analysis)对绿辉石中 Fe^{2+} 含量进行精确的测定, 并用于温度估算, 其温度比绿辉石 Fe^{2+} 应用方法(b)和(c)校正后估算的温度普遍偏低50~200℃。结合本次温度评价看(图11), 应用Krogh(2000)的Grt-Cpx Fe-Mg温度计和方法(d)校正绿辉石 Fe^{2+} 后估算的温度最低, 其可能较为真实地反映榴辉岩的峰期温度。因此, 我们认为此次分析的北大别榴辉岩峰期压力范围在3.5~5.0GPa是较为可靠的, 在此基础上, 应用Krogh(2000)的Grt-Cpx Fe-Mg温度计和绿辉石 Fe^{2+} 应用方法(d)(Schmid *et al.*, 2000)校正后计算的温度是较为合适的。

从表2~表4可以看出, 在应用Krogh(2000)的温度计和方法(d)校正绿辉石 Fe^{2+} 条件下, 压力标定为3.5GPa时, 样品TS82-6A、TS82-6B和SGZ01a的平均温度分别为 $726 \pm 20^\circ\text{C}$ 、 $739 \pm 27^\circ\text{C}$ 、 $596 \pm 22^\circ\text{C}$ 。在压力标定为5.0GPa时, 样品TS82-6A、TS82-6B和SGZ01a的平均温度分别为 $797 \pm 21^\circ\text{C}$ 、 $811 \pm 28^\circ\text{C}$ 和 $664 \pm 24^\circ\text{C}$ 。同刘贻灿等(2001)、Malaspina *et al.* (2006)和Liu and Li (2008)建议的温度范围相比, 此次分析的温度偏低。刘贻灿等(2001)在压力标定为2.5GPa时, 绿辉石和石榴石 Fe^{2+} 使用方法(c)(Droop, 1987)校正, 应用Raheim and Green (1974)、Eills and Green (1979)和Krogh (1988)Grt-Cpx Fe-Mg温度计对同一个矿物对进行评价, 并取其平均值作为温度标定。其中百丈岩样品B98121的温度分别为630℃、727℃和686℃, 平均温度为681℃; 华庄样品98122的温度分别为599℃、617℃和570℃, 平均温度为595℃; 黄尾河(本次研究的胡家河和上官庄地区)样品98701和样品98702温度分别为: 847℃、819℃和758℃, 平均温度为808℃和817℃、908℃和897℃, 平均温度为874℃。而根据Tsai and Liou (2000)、Malaspina *et al.* (2006)、Liu *et al.* (2007)的岩相学和实验岩石学的研究, 实际压力应当>2.5GPa, 相应地温度也应该更高。据此, Liu and Li (2008)建议的峰期温度是: $808 \sim 874^\circ\text{C}$, $P = 2.5\text{GPa}$ 或 $904 \sim 963^\circ\text{C}$, $P = 4.0\text{GPa}$ 。然而, 比较本次温度的估算结果来看, 即便是应用Krogh(1988)温度计和绿辉石 Fe^{2+} 应用方法(c)(Droop, 1987)校正, 在压力为2.5GPa时, 样品TS82-6A、TS82-6B和SGZ01a的温度分别为: $725 \pm 33^\circ\text{C}$ 、 $768 \pm 40^\circ\text{C}$ 和 $671 \pm 130^\circ\text{C}$; 在压力为4.0GPa时, 温度则分别为: $766 \pm 34^\circ\text{C}$ 、 $810 \pm 42^\circ\text{C}$ 和 $711 \pm 136^\circ\text{C}$ (表2~表4)。温度的差异至少可达50~150℃。而如果应用Krogh(2000)温度计和绿辉石 Fe^{2+} 应用方法(d)(Schmid *et al.*, 2000)校正, 在压力为2.5GPa时, 样品TS82-6A、TS82-6B和SGZ01a的温度分别为: $678 \pm 20^\circ\text{C}$ 、 $691 \pm 26^\circ\text{C}$ 和 $551 \pm 21^\circ\text{C}$; 在压力为4.0GPa时, 温度则分别为: $750 \pm 21^\circ\text{C}$ 、 $763 \pm 27^\circ\text{C}$ 和 $619 \pm 23^\circ\text{C}$ (表2~表4)。温度差异进一步加大, 至少可达110~200℃。究

其原因,我们认为这种温度差异源于温度计、绿辉石 Fe^{2+} 的校正方法和矿物对数量选择的不同所致。

在相同条件下(表2~表4), Eills and Green (1979)温度计普遍高于Krogh (1988)温度计估算的温度约30~60℃, 而这2个温度计又比Krogh (2000)温度计估算的温度偏高。加之绿辉石 Fe^{2+} 的不同校正方法应用(全 Fe^{2+} ; Cawthon and Collerson, 1974; Droop, 1987; Schmid *et al.*, 2000), 又进一步扩大了温度差异。在相同条件下, 应用方法(c)校正后计算的温度高于方法(d)校正后计算的温度差约10~50℃, 且应用方法(c)校正后计算的多个矿物对温度具较大的离散性, 同等条件下最高和最低温度可达300℃。而即便应用方法(b)计算的温度也是高于方法(d)的温度(表2~表4)。此外, 魏春景等(2009)认为由于变质岩石中相不平衡的影响, 目前并没有很好的温压计判定一个相对准确的P-T值, 建议对同一个样品选取多个矿物对进行计算, 并取其平均值作为相对精确的温压条件。因此, 根据本次不同温度计的应用、绿辉石 Fe^{2+} 的不同校正和同一样品多个矿物对的计算结果比较(表2和图11), 并结合Krogh(2000)对温度计的论述, 以及实际应用的合理性(Wain, 1998; Cuthbert *et al.*, 2000; Nowlan *et al.*, 2000; Schmid *et al.*, 2000, 2003; Shi and Wang, 2006)。同时, 考虑到Schmid *et al.* (2000, 2003), Proyer *et al.* (2004)和Li *et al.* (2005)的研究结果。我们认为北大别榴辉岩的温度范围相对较低, 在Krogh(2000)温度计、绿辉石 Fe^{2+} 的校正方法(d)被应用, 且多个矿物对被选择计算时, 其温度范围应为: $P_{\text{标定}} = 3.5\text{GPa}$, $T = 600^\circ\text{C} \sim 740^\circ\text{C}$ 至 $P_{\text{标定}} = 5.0\text{GPa}$, $T = 670^\circ\text{C} \sim 810^\circ\text{C}$ 。

由于榴辉岩分类依据的不同, 其分类方案诸多(Eskola, 1914, 1915, 1921; Coleman *et al.*, 1965; Smulikowski, 1960, 1964, 1968; Banno, 1970; Carswell, 1990; Cong, 1995; Liu and Li, 2008), 相互之间难以对比和应用。目前, 普遍接受的是成分、压力分类和温度分类方案(Coleman *et al.*, 1965; Cong, 1995; Carswell, 1990; Liu and Li, 2008)。依据Coleman *et al.* (1965)石榴石的成分分类, 前人北大别榴辉岩和本次百丈岩TS82-6A, B和上官庄SGZ01a榴辉岩分别落入C类和B类2个榴辉岩区(图5a, c), 且中大别和南大别榴辉岩也分别跨域这两个区域。换言之, 石榴石成分分类并不能有效地将不同单元的榴辉岩加以区分。相比较而言, Cong (1995)压力分类和Carswell (1990)、Liu and Li (2008)温度分类可能更为适用。由于北大别榴辉岩普遍经历了超高压变质(Malaspina *et al.*, 2006; Liu *et al.*, 2007), 故Cong (1995)压力分类在此次研究中可以不考虑, 而温度分类则显得极为重要。然而, 由于温度的界定不同, 温度分类还是存在较大差异。Carswell (1990)的温度分类主要是依据形成的温度和地质环境, 将榴辉岩分为低温(<550℃)、中温(550~900℃)和高温(>900℃)3类, 其分别形成于消减洋壳和沟弧环境, 陆壳构造加厚环境和上地幔环境。而Liu and Li (2008)则主要是依据对大别造山带榴辉岩的地质特征、岩石

学、地球化学、年龄和温度差异将榴辉岩分为低温($<700^{\circ}\text{C}$)、中温($700\sim800^{\circ}\text{C}$)和高温($>800^{\circ}\text{C}$)。就北大别榴辉岩而言,在Krogh(2000)温度计和绿辉石 Fe^{2+} 的校正方法(d)(Schmid *et al.*, 2000)被应用时,遵照Carswell(1990)和Liu and Li(2008)的温度分类,本次和前人榴辉岩(Wei *et al.*, 1998; 周存亭等, 2000; 刘贻灿等, 2001; Malaspina *et al.*, 2006)则基本属于中温类型(图10t、图11)。即便是应用Krogh(1988)温度计和方法(c)校正绿辉石 Fe^{2+} (Droop, 1987),北大别榴辉岩仍大多属于中温类型(图10t、图11)。但若按照Liu and Li(2008)的温度分类和建议的温度($904\sim963^{\circ}\text{C}$, $P=4.0\text{GPa}$),北大别榴辉岩则均为高温类型。通过比较不难看出,温度的精确评价和温度分类差异对于榴辉岩的类型归属判别影响较大。对于温度估算,正如前述,我们建议应用Krogh(2000)温度计和方法(d)(Schmid *et al.*, 2000)校正绿辉石 Fe^{2+} ,在压力为 $3.5\sim5.0\text{GPa}$ 时得出的温度较为合理,若如此,无论是按照Carswell(1990)还是Liu and Li(2008)的温度分类方案,本区榴辉岩的温度多小于 800°C (图10t、图11),应属于中温类型。此外,关于榴辉岩的分类,我们更倾向于Carswell(1990)的温度界定,该分类不仅考虑温度的变化,重要的是其结合了地质背景,且温度范围较大,适用性较广。此次评价的榴辉岩温度基本落入Carswell(1990)标定的中温范围,表明其形成于陆壳加厚环境,这与大别碰撞造山带的形成背景是一致的(Zheng *et al.*, 2003)。相反,Liu and Li(2008)的温度分类由于温度界定范围太窄,加之温度评价不确定性的影响,其分类判别较难把握。例如,其中温范围标定在 $700\sim800^{\circ}\text{C}$,若考虑到温度误差因素,约 $\pm60\sim75^{\circ}\text{C}$ (Cuthbert *et al.*, 2000; Shi and Wang, 2006),中温和高温、低温和中温界限很容易被穿越和模糊。基于上述讨论,我们认为北大别榴辉岩温度相对偏高,但仍应属于中温类型。尽管如此,从榴辉岩的岩石学特征(图3)和绿辉石成分(图5b, d),以及Liu *et al.*(2005, 2007)的地球化学和年代学研究结果来看,北大别和中大别、南大别榴辉岩还是有较大差异。因此,本文仍遵从Zheng *et al.*(2005)和Liu and Li(2008)对大别碰撞造山带含榴辉岩单元的划分框架。

致谢 感谢吴春明教授和另一位评审者中肯和悉心的评阅。感谢毛骞博士和马玉光工程师在矿物电子探针测试分析中的帮助。

References

- Ai Y. 1994. A revision of the garnet-clinopyroxene Fe^{2+} -Mg exchange geothermometer. Contributions to Mineralogy and Petrology, 115: 467–473
- Banno S. 1970. Classification of eclogites in terms of physical conditions of their origin. Phys. Earth Plant., 3: 405–421
- Bucher K and Ferry M. 2002. Petrogenesis of Metamorphic Rocks. Berlin, Heidelberg, New York; Springer-Verlag
- Carswell DA. 1990. Eclogite Facies Rocks. New York: Blackie
- Carswell DA, O'Brien PJ, Wilson RN and Zhai MG. 1997. Thermobarometry of phengitebearing eclogites in the Dabie Mountains of Central China. Journal of Metamorphic Geology, 15: 239–252
- Cawthon RG and Collerson KD. 1974. The recalculation of pyroxene end-member parameters and estimation of ferrous and ferric iron content from electron microprobe analyses. American Mineralogist, 59: 1023–1208
- Chen Y, Ye K and Wu CM. 2005. Reviews on applying common-used geothermobarometers for eclogites. Acta Petrologica Sinica, 21(4): 1067–1080 (in Chinese with English abstract)
- Coleman RG, Lee DE, Beatty LB and Brannock WW. 1965. Eclogites and Eclogites: Their differences and Similarities. Geol. Soc. Amer. Bull., 76: 483–508
- Cong BL. 1995. Ultrahigh-Pressure Metamorphic Rocks in the Dabieshan-Sulu Region of China. Beijing: Science Press
- Cuthbert SJ, Carswell DA, Krogh-Ravna EJ and Wain A. 2000. Eclogites and eclogites in the Western Gneiss Region, Norwegian Caledonides. Lithos, 52: 165–195
- Droop GTB. 1987. A general equation for estimating Fe^{3+} concentrations in ferromagnesian silicates and oxides from microprobe analyses, using stoichiometric criteria. Mineralogical Magazine, 51: 431–435
- Ellis DJ and Green DH. 1979. An experimental study of the effect of Ca upon garnet-clinopyroxene Fe-Mg exchange equilibria. Contributions to Mineralogy and Petrology, 71: 13–22
- Eskola P. 1914. On the petrology of the Orijarvi region in southwestern Finland. Bull. Commission Geol. Finland, 40: 277
- Eskola P. 1915. On the relation between the chemical and mineralogical composition in the metamorphic rocks of the Orijarvi region. Bull. Commission Geol. Finland, 44: 109–145
- Eskola P. 1921. On the eclogites of Norway. Vindensk. -Selsk. Skr. I. Mat. Naturv. Kl. 8: 1–118
- Faure M, Lin W, Shu L, Sun Y and Schärer U. 1999. Tectonics of the Dabieshan (eastern China) and possible exhumation mechanism of ultra high-pressure rocks. Terra Nova, 11: 251–258
- Faure M, Lin W, Schärer U, Shu L, Sun Y and Arnaud N. 2003. Continental subduction and exhumation of UHP rocks: Structural and geochronological insights from the Dabieshan (East China). Lithos, 70: 213–241
- Franz L, Romer RL, Klemd R, Schmid R, Oberhaensli R, Wagner T and Dong S. 2001. Eclogite-facies quartz veins within metabasites of the Dabie Shan (eastern China): Pressure-temperature-time-deformation path, composition of the fluid phase and fluid flow during exhumation of high-pressure rocks. Contributions to Mineralogy and Petrology, 141: 322–346
- Kretz R. 1983. Symbols for rock-forming minerals. American Mineralogist, 68: 277–279
- Krogh EJ. 1988. The garnet-clinopyroxene Fe-Mg geothermometer: A reinterpretation of existing experimental data. Contributions to Mineralogy and Petrology, 99: 44–48
- Krogh R. 2000. The garnet-clinopyroxene Fe^{2+} -Mg geothermometer: An updated calibration. J. Metamorphic Geol., 18: 211–219
- Li XP, Zheng YF, Wu YB, Chen FK, Gong B and Li YL. 2004. Low-T eclogite in the Dabie terrane of China: Petrological and isotopic constraints on fluid activity and radiometric dating. Contributions to Mineralogy and Petrology, 148: 443–470
- Li YL, Zheng YF and Fu B. 2005. Mossbauer spectroscopy of omphacite and garnet pairs from eclogites: Application to geothermobarometry. American Mineralogist, 90: 90–100
- Liou JG, Zhang RY and Jahn BM. 1997. Petrology, geochemistry and isotope data on an ultrahigh-pressure jadeite quartzite from Shuanghe, Dabie Mountains, East-central China. Lithos, 41: 59–78
- Liou JG, Ernst WG, Zhang RY, Tsujimori T and Jahn BM. 2009. Ultrahigh-P minerals and metamorphic terranes: The view from China. Journal of Asian Earth Sciences, 35: 199–231
- Liu FL and Liou JG. 2011. Zircon as the best mineral for P - T -time history of UHP metamorphism: A review on mineral inclusions and U-Pb SHRIMP ages of zircons from the Dabie-Sulu UHP rocks. Journal of Asian Earth Sciences, 40: 1–39

- Liu Y, Xu S, Li S, Chen G, Jiang L, Zhou C and Wu W. 2001. Distribution and metamorphic $P-T$ condition of the eclogites from the mafic-ultramafic belt in the northern part of the Dabie Mountains. *Acta Geologica Sinica*, 75: 385–395 (in Chinese with English abstract)
- Liu YC, Li S, Xu S, Jahn BM, Zheng YF, Zhang ZQ, Jiang LL, Chen GB and Wu WP. 2005. Geochemistry and geochronology of eclogites from the northern Dabie Mountains, Central China. *Journal of Asian Earth Sciences*, 25: 431–443
- Liu YC, Li SG, Gu XF, Xu ST and Chen GB. 2007. Ultrahigh-pressure eclogite transformed from mafic granulite in the Dabie orogen. *J. Metamorphic Geol.*, 25: 975–989
- Liu YC and Li SG. 2008. Detachment within subducted continental crust and multi-slice successive exhumation of ultrahigh-pressure metamorphic rocks: Evidence from the Dabie-Sulu orogenic belt. *Chinese Science Bulletin*, 53(20): 3105–3119
- Malaspina N, Hermann J, Scambelluri M and Compagnoni R. 2006. Multistage metasomatism in ultrahigh-pressure mafic rocks from the North Dabie Complex (China). *Lithos*, 90: 19–42
- Nowlan EU, Schertl HP and Schreyer W. 2000. Garnet-omphacite-phengite thermobarometry of eclogites from the coesite-bearing unit of the southern Dora-Maira Massif, Western Alps. *Lithos*, 52: 197–214
- Okay AI, Xu S and Sengor AMC. 1989. Coesite from the Dabie Shan eclogites, central China. *European Journal of Mineralogy*, 1: 595–598
- Okay AI. 1993. Petrology of a diamond and coesite-bearing metamorphic terrain: Dabie Shan, China. *European Journal of Mineralogy*, 5: 659–675
- Okay AI. 1995. Paragonite eclogites from Dabie Shan, China: Re-equilibrations during exhumation. *Journal of Metamorphic Geology*, 13: 499–460
- Powell R. 1985. Regression diagnostics and robust regression in geothermometer calibration: The garnet-clinopyroxene geothermometer revisited. *J. Metamorphic Geol.*, 3: 231–243
- Proyer A, Dachs E and McCammon C. 2004. Pitfalls in geothermobarometry of eclogites: Fe^{3+} and changes in the mineral chemistry of omphacite at ultrahigh pressure. *Contribution Mineralogy Petrology*, 147: 305–318
- Raheima A and Green DH. 1974. Experimental determination of the temperature and pressure dependence of the Fe-Mg partition coefficient for coexisting clinopyroxene and garnet. *Contributions to Mineralogy and Petrology*, 48: 179–203
- Rolfo F, Compagnoni R, Xu S and Jiang L. 2000. First report of felsic whiteschist in the ultrahigh-pressure metamorphic belt of Dabie Shan, China. *European Journal of Mineralogy*, 12: 883–898
- Rolfo F, Compagnoni R, Wu W and Xu ST. 2004. A coherent lithostratigraphic unit in the coesite-eclogite complex of Dabie Shan, China: Geologic and petrologic evidence. *Lithos*, 73: 71–94
- Schmid R, Franz L, Oberhansli R and Dong SW. 2000. High-Si phengite, mineral chemistry and $P-T$ evolution of ultra-high-pressure eclogites and calc-silicates from the Dabie Shan, eastern China. *Geological Journal*, 3: 185–207
- Schmid R, Wilke M, Oberhansli R, Janssens K, Falkenberg G, Franz L and Gaab A. 2003. Micro-XANES determination of ferric iron and its application in thermobarometry. *Lithos*, 70: 381–392
- Shi Y and Wang Q. 2006. Changes in the peak $P-T$ conditions across the upper contact of the UHP terrane, Dabie Shan, China: Gradational or abrupt? *Journal of Metamorphic Geology*, 24: 803–822
- Shi YH, Song CZ and Zhao Q. 2008. Fe^{2+} Adjustment in omphacite and its influence on the $P-T$ conditions, estimates and classification for eclogite. *Acta Mineralogical Sinica*, 28(4): 367–380 (in Chinese with English abstract)
- Smulikowski K. 1960. Comments on eclogite facies in regional metamorphism. *Rep. Int. Geol. Congr. XXI Copenhagen*, Pt. XIII, 372–382
- Smulikowski K. 1964. An attempt at eclogite classification. *Bulletin de l' Academie Polonaise des Sciences: Serie Geologique et Geographique*, 12: 27–33
- Smulikowski K. 1968. Differentiation of eclogites and its possible causes. *Lithos*, 1: 89–101
- Sobolev VN, McCammon CA, Taylor LA, Snyder GA and Sobolev NV. 1999. Precise Mossbauer milliprobe determination of ferric iron in rock-forming minerals and limitations of electron microprobe analysis. *American Mineralogist*, 84: 78–85
- Tabata T, Maruyama S and Shi Z. 1998. Metamorphic zoning and thermal structure of the Dabie ultrahigh-pressure-high-pressure terrane, central China. *The Island Arc*, 7: 142–158
- Tsai CH and Liou JG. 2000. Eclogite-facies relics and inferred ultrahigh-pressure metamorphism in the North Dabie Complex, central-eastern China. *American Mineralogist*, 85: 1–8
- Wain AL. 1998. Ultrahigh pressure metamorphism in the western gneiss region of Norway. Ph. D. Dissertation. Oxford: University of Oxford
- Wang X, Jing Y, Liou JG, Pan G, Liang W, Xia M and Maruyama S. 1990. Field occurrences and petrology of eclogites from the Dabie Mountains, Anhui, Central China. *Lithos*, 25: 119–131
- Wang X, Liou JG and Maruyama S. 1992. Coesite-bearing eclogites from the Dabie Mountains, Central China: Petrogenesis, $P-T$ path and implications for regional tectonics. *Journal of Geology*, 100: 231–250
- Wei CJ, Shan ZG, Zhang LF, Wang SG and Chang ZG. 1998. Determination and geological significance of the eclogites from the northern Dabie mountains, Central China. *Chinese Science Bulletin*, 43: 253–256
- Wei CJ, Su XL, Lou YX and Li YJ. 2009. A new interpretation of the conventional thermobarometry in eclogite: Evidence from the calculated pseudosection. *Acta Petrologica Sinica*, 25(9): 2078–2088 (in Chinese with English abstract)
- Xu ST, Liu YC, Chen GB, Ji SY, Ni P and Xiao WS. 2005. Micrometeorites, their classification and tectonic implications for the host eclogites from the Dabie and Su-Lu regions in central eastern China. *Mineralogical Magazine*, 69: 509–520
- Ye K, Cong BL and Ye DN. 2000. The possible subduction of continental material to depths greater than 200km. *Nature*, 407: 734–736
- Zhang RY, Liou JG and Ernst WG. 2009. The Dabie-Sulu continental collision zone: A comprehensive review. *Gondwana Research*, 16: 1–26
- Zheng YF, Fu B, Gong B and Li L. 2003. Stable isotope geochemistry of ultrahigh pressure metamorphic rocks from the Dabie-Sulu orogen in China: Implications for geodynamics and Fluid regime. *Lithos*, 62: 105–161
- Zheng YF, Zhou JB, Wu YB and Xie Z. 2005. Low-grade metamorphic rocks in the Dabie-Sulu Orogenic Belt: A passive-margin accretionary wedge deformed during continent subduction. *International Geology Review*, 47: 851–871
- Zhou CT, Gao TS, Tang JF, Sheng HS and Hu YQ. 2000. Distribution and main characteristic of eclogite in the northern Dabie mountains, Anhui. *Regional Geology of China*, 19(3): 253–257 (in Chinese with English abstract)

附中文参考文献

- 陈意, 叶凯, 吴春明. 2005. 榴辉岩常用温度计在应用中应注意的问题. *岩石学报*, 21(4): 1067–1080
- 刘贻灿, 徐树桐, 李曙光, 陈冠宝, 江来利, 周存亭, 吴维平. 2001. 大别山北部镁铁-超镁铁质岩带中榴辉岩的分布与变质温压条件. *地质学报*, 75(3): 385–395
- 石永红, 宋传中, 赵群. 2008. 绿辉石 Fe^{2+} 的调整及对榴辉岩温压计算和分类的影响. *矿物学报*, 28(4): 367–380
- 魏春景, 苏香丽, 娄玉行, 李艳娟. 2009. 榴辉岩中传统地质温压计新解: 来自 PT 视剖面图的证据. *岩石学报*, 25(9): 2078–2088
- 周存亭, 高天山, 汤加富, 沈荷生, 胡云琴. 2000. 安徽大别山北部榴辉岩分布及主要特征. *中国地质*, 19(3): 253–257